

平成 17 年度自然環境保全基礎調査植生調査
植生図数値化手法検証業務
報告書

平成 18 年 3 月
アジア航測株式会社

目次

| | | |
|--------|-----------------------------|----|
| 1 | 検討の目的..... | 1 |
| 2 | 検討方法 | 1 |
| 2.1 | 検討フロー | 1 |
| 2.2 | 検討に使用したデータ | 2 |
| 2.3 | 検討対象地域..... | 3 |
| 3 | 検討方法 | 4 |
| 3.1 | 比較データの抽出方法 | 4 |
| 3.2 | 凡例の統合 | 5 |
| 4 | 検討結果 | 10 |
| 4.1 | データ抽出法の比較..... | 10 |
| 4.1.1. | 第 5 回調査で実施した小円選択法の検証 | 13 |
| 4.1.2. | データ抽出法ごとに把握されるメッシュ数の比較..... | 14 |
| 4.2 | 第 5 回調査と第 6 回調査との比較 | 14 |
| 4.2.1. | 全体的傾向..... | 14 |
| 4.2.2. | 実面積による比較 | 14 |
| 4.2.3. | メッシュ毎の比較..... | 17 |
| 5 | まとめ..... | 19 |

1 検討の目的

第5回自然環境保全基礎調査植生調査（以下、「第5回調査」という）では縮尺 1/5 万の図が作成されたが、集計は小円選択法による3次メッシュデータに基づいたもので実施された。

その後各種データの GIS 化が進み、平成9年度に「自然環境情報 GIS CD」、平成12年度に「自然環境情報 GIS CD 第2版」が完成したことで、1つ1つのポリゴンを対象とした詳細な面積単位での解析が可能となった。

一方、平成11年度から開始された第6回自然環境保全基礎調査植生調査（以下、「第6回調査」という）では縮尺が 1/2.5 万に改められるとともに凡例体系も再整備された。平成16年度業務からは GIS 仕様が定められ GIS データが成果品の1つとなった。これは平成17年度開始の「第7回自然環境保全基礎調査 植生調査」（以下、「第7回調査」という）でも踏襲されている。

植生調査の目的は全国規模の植生の把握と過去からの植生変化を把握することであるが、その比較を行う際、データ化の方法の違いや作成基準（縮尺、凡例体系）が問題となる可能性が指摘されている。しかしこれまで実際に検証は行われてこなかった。

そこで本業務は第5回調査と第6回調査の植生図 GIS データを用いて、データ化手法の違い及び植生図作成基準が比較解析に及ぼす影響を検証し、植生図を使う上での留意点を明らかにすることを目的とする。

2 検討方法

2.1 検討フロー

図 2.1 に本業務での検討フローを示す。

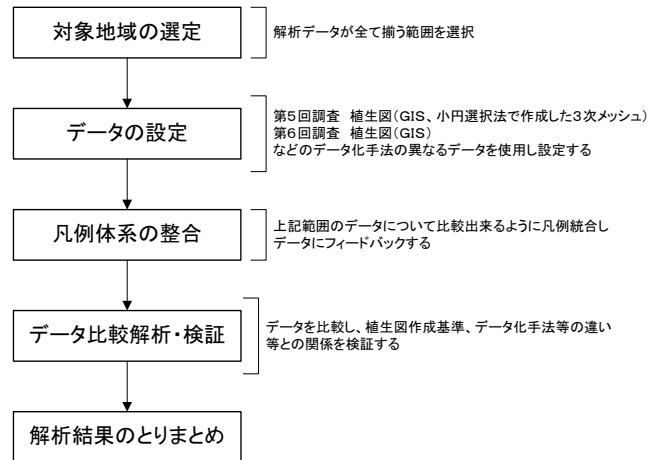


図 2.1 検討フロー

なお、検討結果の一部は平成17年度の第1回植生分科会において発表し、奥富座長を始め部会委員らより意見を頂戴した。

2.2 検討に使用したデータ

検討に使用したデータは、表 2.1 に示す5種類のデータである。

表 2.1 比較に使用したデータ

| データ名称 | 縮尺 | データの形態 | データ化の方法 |
|-----------|----------|--------------------|--------------------|
| 第5回調査 植生図 | 1/50,000 | 3次メッシュデータ | 小円選択法 |
| | | GIS データ shape ファイル | ポリゴンとしての図面通りの形態を維持 |
| 第6回調査 植生図 | 1/25,000 | GIS データ shape ファイル | ポリゴンとしての図面通りの形態を維持 |

小円選択法とは3次メッシュの中心に直径250mの円（図中の赤丸）を置き、その中で優占する植生をそのメッシュのデータとする方法である（図 2.2）。

これは分布面積の小さい植生をメッシュ化の際に漏らさない方法として、第1回の植生調査1業務で検討がなされたものである。当時の検討内容の詳細は参考資料1と2を参考のこと。

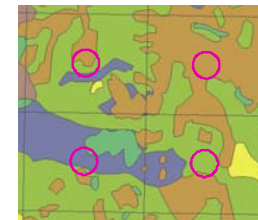


図 2.2 小円選択法

※○は小円（直径250m）、黒い線は3次メッシュの線を示す。
3次メッシュの線は概ね1km四方の大きさを持つ。

¹ 環境庁編「緑の国勢調査—自然環境保全調査報告書—」（昭和51年3月）260-261p。なお当時は植生自然度調査という名称で実施。

2.3 検討対象地域

検討対象地域は、GIS 化製品仕様書（以下、「GIS 仕様」）に則り作成され、構造化された植生図 GIS データが作成されている地域の中から、図 2.3 のとおり神奈川県、山梨県、静岡県 の 3 県にまたがる 20 図部分の地域を選択した。

この地域は平成 15 年度の GIS 仕様検討地域、平成 16 年度植生原図整備地域、平成 16 年度丹沢大山業務での整備地域であり、全てアジア航測の担当整備地域であり現地の状況などを熟知していることも選択の 1 つの理由である。

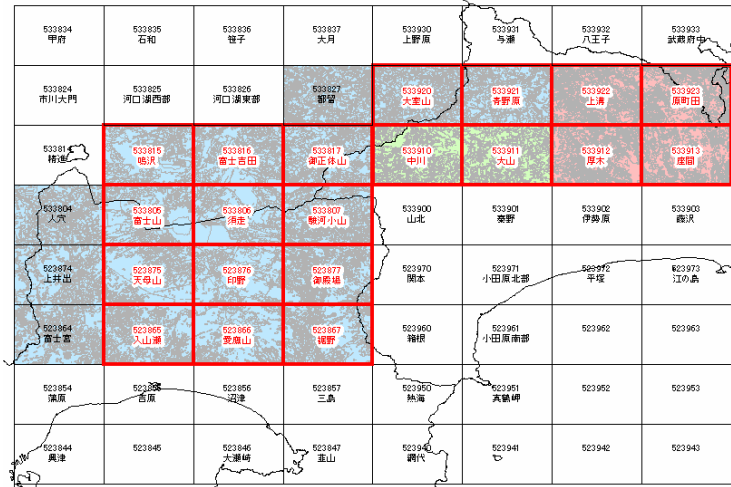


図 2.3 全検討対象地域 図中の赤枠地域

なおこの報告書では特にこだわらない限り、図郭は日本測地系（旧測地系）の 2 次メッシュとして扱うものとし、3 次メッシュはこの 2 次メッシュを東西南北に 10 分割したものとして定義している。

3 検討方法

実際の解析を行う前にデータの処理方法やデータの比較方法を検討した。

3.1 比較データの抽出方法

過去の植生調査でのデータ化方法を踏まえ、今回は下記の 5 つのデータ抽出方法でデータを比較した（表 3.1）。

- 第 5 回植生調査データに対して行うデータの抽出方法
 - a. 第 5 回調査実施時の目視による測定値（公表済 既存データ）
 - b. GIS の解析機能によって求めた小円選択法による測定値
 - c. GIS によるポリゴン面積測定値
- 第 6 回調査データに対して行うデータの抽出方法
 - d. GIS の解析機能によって求めた小円選択法による測定値
 - e. GIS によるポリゴン面積測定値

表 3.1 比較に使用するデータの抽出方法

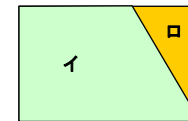
| | 小円選択法による代表値 | | GIS による面積測定値 |
|--------------------|-------------|-----------|--------------|
| | 目視 | GIS による測定 | |
| 第 5 回調査 縮尺 1/5 万 | a | b | c |
| 第 6 回調査 縮尺 1/2.5 万 | | d | e |

a は 3 次メッシュという単位で把握される数値であるため、b～e についても 3 次メッシュ単位でとりまとめた数値として比較を行っており、比較は原則面積ではなくメッシュ数で行っている。

c と e の GIS による面積測定値は当初 3 次メッシュの個々のメッシュ毎に比較を行うことを目的としていたために、当初 GIS 計測によって 3 次メッシュ内の最大面積を占める植生を求め、それが全体を占めるとして計算を解析を実施した（図 3.1）。

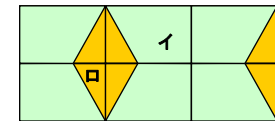
しかしこの手法で解析を進めたところ、広域に分布する植林地などの植生を過剰に評価してしまうことが判明したため、検討対象地域の 20 面全域で植生毎の面積を集計した後、3 次メッシュ数に換算し直し²、その数値を持って他の項目との比較を行うこととした。

初期に実施した抽出方法



GIS によってイが最大面積であることを判定した後、イがこの 3 次メッシュ全体をしめるものとした。ロは無視される。

変更した抽出方法



全域（この図では 6 メッシュ分）について植生毎に GIS によって面積を求め、植生毎に 3 次メッシュ相当の面積 1km² で割ることで 3 次メッシュ数を算出した。この場合ロも 1 メッシュ相当のメッシュ数は確保される。

図 3.1 GIS による実面積測定値算出方法 模式図

² この地域全体の面積は約 2099km²、3 次メッシュの 1 メッシュを 1km² とすると図面数は 20 面なので 2000km² となる。そこで、GIS 計測面積×2000km²÷2099km²によってメッシュ数を算定した。

3.2 凡例の統合

比較を行う上でのもう1つの課題は凡例である。

第5回調査は都道府県単位の凡例体系となっていたため、都道府県によって凡例が異なる、都道府県境界でポリゴンがずれるなど幾つかの問題点が指摘されており、そのままでは第6回調査との比較が出来ないことがわかっている。

そこで検討対象地域の全出現凡例をGISデータから抽出し、新たに比較解析用の凡例体系を作成し解析に使用することとした(表3.2、表3.3)。

比較解析用の凡例としては、原則第6回調査で用いる統一凡例に合わせる形とし、多くのデータで1対1の対応が可能となるようにした。

また第5回調査と第6回調査とで凡例の対応が多対1になる場合は、第6回調査の凡例体系を1段上に上がる形(細区分→中区分のような形)で凡例を対応させた。

表 3.2 第5回調査データについての解析用凡例体系

※MAJOR1、NAMEとは第5回調査データのGISの属性で、MAJOR1はGIS用の凡例である。

※MAJOR1は群落コードに1対1で番号を振ったものであり同じ植生でも異なった番号となっている場合がある。

| 集計用凡例 | | 第5回調査GISデータ凡例 | | |
|----------|-------------------|---------------|------------------------|--------|
| 比較用凡例コード | 比較用凡例名 | MAJOR1 | NAME | 群落コード |
| 020602 | フジハタザオ-オンタデ群集 | 1015 | フジハタザオ-オンタデ群集 | 10204I |
| 050102 | シラビソ-オオシラビソ群集 | 2005 | シラビソ-オオシラビソ群集 | 20500 |
| | | 2011 | シラビソ-オオシラビソ群集 | 20502A |
| 050105 | カラムツ群落 | 2018 | カラムツ群落 | 20700 |
| 060108 | タカネノガリヤス-ダケカンバ群集 | 2020 | ミドリユキザサ-ダケカンバ群集 | 20800A |
| 080100 | ダケカンバ群落(III) | 3011 | ダケカンバ群落 | 30400 |
| 100000 | 伐採跡地群落(III) | 3008 | 伐跡群落 | 30300A |
| 130101 | ヤマボウシ-ブナ群集 | 4015 | ヤマボウシ-ブナ群集 | 40201A |
| 130104 | オオモミジガサ-ブナ群集 | 4028 | オオモミジガサ-ブナ群集 | 40204 |
| 130200 | イヌブナ群落 | 4024 | イヌブナ群落 | 40203A |
| 140101 | ウラジロモミ-コメツガ群落 | 4139 | ウラジロモミ-コメツガ群落、ハリモミ群落 | 43300B |
| 140102 | カニコウモリ-ウラジロモミ群集 | 4041 | ウラジロモミ群落 | 40400 |
| 140601 | コカンスゲ-ツガ群集 | 4030 | ツガ-コカンスゲ群集 | 40208 |
| 140801 | シノブカグマ-ヒノキ群集 | 4046 | ヒノキ群落 | 40600A |
| | | 4047 | ヒノキ-シノブカグマ群集 | 40601C |
| 160202 | イワボタン-シオジ群集 | 4067 | ミヤマクマワラビ-シオジ群集 | 41000A |
| 160403 | オオモミジ-ケヤキ群集 | 4123 | ケヤキ群落 | 42500A |
| 190000 | 岩角地・風衝地低木群落 | 4093 | 自然低木群落 | 41700A |
| | | 4132 | ミズナラ-リョウブ群集 | 41701B |
| 210201 | フジアカシヨウマ-シモツケソウ群集 | 4109 | フジアカシヨウマ-シモツケソウ群集 | 41801 |
| 220102 | クリ-ミズナラ群集 | 5009 | クリ-ミズナラ群落 | 50300A |
| 220700 | アカシデー-イヌシデ群落(V) | 5020 | アカシデー-イヌシデ群落 | 50400A |
| | | 7122 | イヌシデ群落 | 73600 |
| 220902 | レンゲツツジ-シラカンバ群集 | 5030 | レンゲツツジ-シラカンバ群落 | 50502D |
| 240101 | ニシキウツギ-ノリウツギ群落 | 5035 | ニシキウツギ-ノリウツギ群落 | 50700A |
| 250100 | ササ群落(V) | 5042 | ササ草原 | 50900A |
| 250105 | ハコネダケ群落 | 5046 | ハコネダケ群落 | 50903D |
| 250200 | ススキ群集(V) | 5049 | ススキ群集 | 51000A |
| | | 5055 | カワラマツバ-ススキ群落 | 51002E |
| | | 5056 | ススキ-ホクチアザミ群落 | 51003F |
| 260000 | 伐採跡地群落(V) | 5066 | 伐跡群落 | 51400A |
| 270101 | シラカン群集 | 6053 | シラカン群集 | 60900A |
| 270500 | ウラジロガシ群落 | 6020 | サカキ-ウラジロガシ群集 | 60400A |
| 271201 | ヤブコウジ-スダジイ群集 | 6074 | ヤブコウジ-スダジイ群集 | 61301A |
| 271601 | イノデ-タブノキ群集 | 6107 | イノデ-タブ群集 | 61401A |
| 280101 | シキミ-モミ群集 | 6002 | モミ-シキミ群集 | 60100A |
| 290104 | ヤマツツジ-アカマツ群集(自然林) | 4057 | アカマツ群落 | 40800 |
| 300101 | コクサギ-ケヤキ群集 | 6038 | コクサギ-ケヤキ群集 | 60500J |
| 300102 | イロハモミジ-ケヤキ群集 | 6039 | ケヤキ-イロハモミジ群集 | 60501B |
| 320200 | ヤナギ低木群落(VI) | 6144 | 河辺ヤナギ低木群落 | 62200A |
| | | 6150 | ネコヤナギ-タチヤナギ群落 | 62201C |
| 320401 | タマアジサイ-フサザクラ群集 | 4141 | タマアジサイ-フサザクラ群集、ヤシャブシ群落 | 43400B |
| 400100 | シイ-カシ二次林 | 7017 | シイ-カシ萌芽林 | 70200A |
| 400104 | シラカン屋敷林 | 6190 | シラカン-ケヤキ屋敷林 | 65700 |
| 410100 | コナラ群落 | 7002 | コナラ群落 | 70100A |
| | | 7006 | クヌギ-コナラ群集 | 70101A |
| | | 7007 | コナラ-クヌギ群集 | 70101C |
| | | 7011 | オニシバリ-コナラ群集 | 70103B |

| | | | | |
|--------|-------------------|------|---------------------|--------|
| | | 7012 | コナラークリ群落 | 70104 |
| | | 7013 | コナラークリ群集 | 70104B |
| 420101 | ヤマツツジ-アカマツ群集 | 7081 | アカマツ群落 | 71000A |
| 440000 | 低木群落 | 7095 | 林縁性つる低木群落 | 72000A |
| 440200 | クズ群落 | 7096 | クズ群落 | 72000B |
| 450100 | ススキ群団(VII) | 7054 | ススキ群団 | 70600A |
| | | 7061 | アズマネザサ-ススキ群集 | 70602D |
| | | 7063 | アズマネザサ-ススキ群集 | 70602J |
| | | 7064 | チガヤ-ススキ群落 | 70603F |
| 460000 | 伐採跡地群落(VII) | 7036 | 伐跡群落 | 70300A |
| | | 7038 | ベニバナボロギク-ダントボロギク群落 | 70301C |
| | | 7040 | クサイチゴ-タラノキ群集 | 70302E |
| 470400 | ヨシクラス | 8008 | ヨシクラス | 80300A |
| 470501 | ツルヨシ群集 | 8019 | ツルヨシ群集 | 80500A |
| 470502 | オギ群集 | 8023 | オギ群集 | 80600A |
| 490000 | 砂丘植生 | 8040 | 砂丘植生 | 80900A |
| 520401 | フジアザミ-ヤマホタルブクロ群集 | 4110 | フジアザミ-ヤマホタルブクロ群集 | 41802 |
| 540100 | スギ・ヒノキ・サワラ植林 | 9016 | スギ・ヒノキ・サワラ植林 | 90103A |
| 540200 | アカマツ植林 | 9011 | アカマツ植林 | 90101A |
| 540300 | クロマツ植林 | 9013 | クロマツ植林 | 90102A |
| 540700 | カラマツ植林 | 9024 | カラマツ植林 | 90201B |
| 540902 | ニセアカシア群落 | 9047 | 外国産広葉樹植林 | 90600A |
| 541000 | その他植林 | 9032 | クスノキ植林 | 90401B |
| 541102 | ウラジロモミ植林 | 9006 | ウラジロモミ植林 | 90107C |
| 541103 | シラビソ植林 | 9009 | シラビソ植林 | 90115H |
| 541200 | その他植林(落葉広葉樹) | 9035 | 落葉広葉樹植林 | 90500A |
| | | 9044 | ヤマハンノキ植林 | 90507E |
| 550000 | 竹林 | 9055 | 竹林 | 90700A |
| 560100 | ゴルフ場・芝地 | 5062 | シバ群団 | 51100A |
| | | 7068 | シバ群団 | 70700 |
| | | 9082 | 牧草地 | 91500A |
| | | 9083 | 人工草地 | 91500C |
| | | 9095 | ゴルフ場 | 91501B |
| 570100 | 路傍・空地雑草群落 | 7072 | 路傍雑草群落 | 70900A |
| | | 7077 | クズ-カナムグラ群落 | 70901B |
| | | 7079 | ヨモギ群落 | 70903D |
| | | 9077 | ヒメムカシヨモギ-オオアレチノギク群落 | 91400B |
| 570101 | 畑放棄雑草群落 | 9064 | 落葉果樹園 | 90900A |
| 570200 | 果樹園 | 9066 | 桑園 | 91000 |
| | | 9070 | 苗圃 | 91200 |
| 570201 | 茶畑 | 9068 | 茶畑 | 91100 |
| 570202 | 常緑果樹園 | 9062 | 常緑果樹園 | 90800 |
| 570300 | 畑地雑草群落 | 9072 | 畑地雑草群落 | 91300A |
| 570400 | 水田雑草群落 | 9098 | 水田雑草群落 | 91600A |
| 570500 | 水田放棄雑草群落 | 9101 | 休耕田雑草群落 | 91700A |
| 580100 | 市街地 | 9902 | 市街地 | A0100A |
| | | 9935 | 広いコンクリート地 | A1000 |
| 580101 | 緑の多い住宅地 | 9905 | 緑の多い住宅地 | A0200A |
| 580200 | 残存・植栽樹群をもった公園、墓地等 | 9907 | 公園、墓地等 | A0200C |
| 580300 | 工場地帯 | 9915 | 工場地帯 | A0300 |
| 580400 | 造成地 | 9919 | 造成地 | A0400A |
| | | 9925 | 造成地、裸地 | A0400L |
| 580600 | 開放水域 | 9931 | 開放水域 | A0600A |
| | | 9932 | 開放水域 | A0600C |
| 580700 | 自然裸地 | 9933 | 自然裸地 | A0700 |

表 3.3 第6回調査データについての解析用凡例体系

| 集計用凡例 | | 第6回調査統一凡例 | |
|----------|-------------------|-----------|-------------------|
| 比較用凡例コード | 比較用凡例名 | 凡例コード | 凡例名 |
| 020602 | フジハタザオ-オンタデ群集 | 010201 | コケモモ-ミネヤナギ群落 |
| | | 020602 | フジハタザオ-オンタデ群集 |
| 050102 | シラビソ-オオシラビン群集 | 050102 | シラビソ-オオシラビン群集 |
| 050105 | カラマツ群落 | 050105 | カラマツ群落 |
| 060108 | タカネノガリヤス-ダケカンバ群集 | 060108 | タカネノガリヤス-ダケカンバ群集 |
| 080100 | ダケカンバ群落(III) | 080100 | ダケカンバ群落(III) |
| 100000 | 伐採跡地群落(III) | 100000 | 伐採跡地群落(III) |
| 130101 | ヤマボウシ-ブナ群集 | 130101 | ヤマボウシ-ブナ群集 |
| 130104 | オオモミジガサ-ブナ群集 | 130104 | オオモミジガサ-ブナ群集 |
| | | 130108 | クワガタソウ-ブナ群落 |
| 130200 | イヌブナ群落 | 130200 | イヌブナ群落 |
| 140101 | ウラジロモミ-コメツガ群落 | 050104 | コメツガ群落 |
| | | 140101 | ウラジロモミ-コメツガ群落 |
| | | 141300 | ハリモミ群落 |
| 140102 | カニコウモリ-ウラジロモミ群集 | 140102 | カニコウモリ-ウラジロモミ群集 |
| 140601 | コカンスゲ-ツグ群集 | 140601 | コカンスゲ-ツグ群集 |
| 140801 | シノブカグマ-ヒノキ群集 | 140801 | シノブカグマ-ヒノキ群集 |
| 160202 | イワボタン-シオジ群集 | 160202 | イワボタン-シオジ群集 |
| 160403 | オオモミジ-ケヤキ群集 | 160403 | オオモミジ-ケヤキ群集 |
| | | 160600 | オオバアサガラ群落 |
| 190000 | 岩場地・風衝地低木群落 | 190000 | 岩場地・風衝地低木群落 |
| | | 190200 | ヤシヤブシ群落 |
| 210201 | フジアカシヨウマ-シモツケソウ群集 | 210201 | フジアカシヨウマ-シモツケソウ群集 |
| 220102 | クリ-ミズナラ群集 | 220102 | クリ-ミズナラ群集 |
| 220700 | アカシデー-イヌシデ群落(V) | 220700 | アカシデー-イヌシデ群落(V) |
| | | 410400 | アカシデー-イヌシデ群落(VII) |
| | | 410800 | ケヤキ群落(VII) |
| 220902 | レンゲツツジ-シラカンバ群集 | 220902 | レンゲツツジ-シラカンバ群集 |
| 240101 | ニシキウツギ-ノリウツギ群落 | 240101 | ニシキウツギ-ノリウツギ群落 |
| 250100 | ササ群落(V) | 250100 | ササ群落(V) |
| 250105 | ハコネダケ群落 | 250105 | ハコネダケ群落 |
| 250200 | ススキ群団(V) | 250200 | ススキ群団(V) |
| 260000 | 伐採跡地群落(V) | 260000 | 伐採跡地群落(V) |
| 270101 | シラカシ群集 | 270101 | シラカシ群集 |
| 270500 | ウラジロガン群落 | 270500 | ウラジロガン群落 |
| 271201 | ヤブコウジ-スダジイ群集 | 271201 | ヤブコウジ-スダジイ群集 |
| 271601 | イノデ-タブノキ群集 | 271203 | ホソバカナワラビ-スダジイ群集 |
| | | 271601 | イノデ-タブノキ群集 |
| 280101 | シキミ-モミ群集 | 270300 | アカガシ群落 |
| | | 280101 | シキミ-モミ群集 |
| 290104 | ヤマツツジ-アカマツ群集(自然林) | 290104 | ヤマツツジ-アカマツ群集(自然林) |
| 300101 | コクサギ-ケヤキ群集 | 300101 | コクサギ-ケヤキ群集 |
| 300102 | イロハモミジ-ケヤキ群集 | 300102 | イロハモミジ-ケヤキ群集 |
| | | 300200 | ムクノキ-エノキ群落 |
| 320200 | ヤナギ低木群落(VI) | 320200 | ヤナギ低木群落(VI) |
| 320401 | タマアジサイ-フサザクラ群集 | 180400 | ヤマハンノキ群落 |
| | | 180500 | 河辺ヤシヤブシ群落 |
| | | 320401 | タマアジサイ-フサザクラ群集 |
| | | 320600 | 河辺ヤシヤブシ群落(VI) |
| 400100 | シイ・カシ二次林 | 400100 | シイ・カシ二次林 |
| | | 400102 | アカガシ二次林 |

| | | | |
|--------|-------------------|--------|-------------------|
| 400104 | シラカシ屋敷林 | 400104 | シラカシ屋敷林 |
| | | 410802 | ケヤキ屋敷林 |
| 410100 | コナラ群落 | 410101 | クリコナラ群集 |
| | | 410102 | クスギコナラ群集 |
| | | 410103 | オニシバリーコナラ群集 |
| | | 410700 | アカメガシワ・カラスザンショウ群落 |
| 420101 | ヤマツツジ・アカマツ群集 | 420101 | ヤマツツジ・アカマツ群集 |
| 440000 | 低木群落 | 430200 | メダケ群落 |
| | | 430400 | アズマネザサ群落 |
| | | 440000 | 低木群落 |
| | | 440200 | クス群落 |
| 450100 | ススキ群団(VII) | 450101 | アズマネザサ・ススキ群集 |
| | | 450103 | チガヤ・ススキ群集 |
| 460000 | 伐採跡地群落(VII) | 460000 | 伐採跡地群落(VII) |
| 470400 | ヨシクラス | 470400 | ヨシクラス |
| 470401 | ミソソバ・ヨシ群落 | 470401 | ミソソバ・ヨシ群落 |
| 470501 | ツルヨシ群集 | 470501 | ツルヨシ群集 |
| 470502 | オギ群集 | 470502 | オギ群集 |
| 520401 | フジアザミー・ヤマホタルブクロ群集 | 520401 | フジアザミー・ヤマホタルブクロ群集 |
| 540100 | スギ・ヒノキ・サワラ植林 | 540100 | スギ・ヒノキ・サワラ植林 |
| 540200 | アカマツ植林 | 540200 | アカマツ植林 |
| 540300 | クロマツ植林 | 540300 | クロマツ植林 |
| 540700 | カラマツ植林 | 540700 | カラマツ植林 |
| 540902 | ニセアカシア群落 | 540902 | ニセアカシア群落 |
| 541000 | その他植林 | 541000 | その他植林 |
| 541102 | ウラジロモミ植林 | 541101 | モミ植林 |
| | | 541102 | ウラジロモミ植林 |
| 541103 | シラビソ植林 | 541103 | シラビソ植林 |
| | | 541104 | トウヒ植林 |
| | | 541200 | その他植林(落葉広葉樹) |
| 550000 | 竹林 | 550000 | 竹林 |
| | | 550100 | モウソウチク林 |
| | | 550200 | マダケ・ハチク林 |
| | | 560100 | ゴルフ場・芝地 |
| 560100 | ゴルフ場・芝地 | 560100 | ゴルフ場・芝地 |
| | | 560200 | 牧草地 |
| 570100 | 路傍・空地雑草群落 | 570100 | 路傍・空地雑草群落 |
| 570101 | 畑放棄雑草群落 | 570101 | 畑放棄雑草群落 |
| 570200 | 果樹園 | 570200 | 果樹園 |
| 570201 | 茶畑 | 570201 | 茶畑 |
| 570202 | 常緑果樹園 | 570202 | 常緑果樹園 |
| 570300 | 畑地雑草群落 | 570300 | 畑地雑草群落 |
| 570400 | 水田雑草群落 | 570400 | 水田雑草群落 |
| 570500 | 水田放棄雑草群落 | 570500 | 水田放棄雑草群落 |
| 580100 | 市街地 | 580100 | 市街地 |
| 580101 | 緑の多い住宅地 | 580101 | 緑の多い住宅地 |
| | | 580800 | 残存・植栽樹群地 |
| 580200 | 残存・植栽樹群をもった公園、墓地等 | 580200 | 残存・植栽樹群をもった公園、墓地等 |
| 580300 | 工場地帯 | 580300 | 工場地帯 |
| 580400 | 造成地 | 580400 | 造成地 |
| 580600 | 開放水域 | 580600 | 開放水域 |
| 580700 | 自然裸地 | 470504 | カワラハハコ・ヨモギ群団 |
| | | 510300 | 岩壁植生 |
| | | 580700 | 自然裸地 |

4 検討結果

4.1 データ抽出法の比較

データ抽出法別の全出現群落数を算出したものを表 4.1 データ抽出法ごとの抽出群落数に示す。
c と e はそれぞれの調査回における検討対象地域の全出現凡例を抽出するため、それに対しての構成比も示した。

表 4.1 データ抽出法ごとの抽出群落数

| データ抽出法 | 第5回調査 | | | 第6回調査 | |
|------------------|-------------|--------------|------------|--------------|------------|
| | a.小円選択法(目視) | b.小円選択法(GIS) | c.GIS面積実測値 | d.小円選択法(GIS) | e.GIS面積実測値 |
| 抽出群落数 | 52 | 50 | 73 | 53 | 74 |
| 全出現凡例に対する比率(%) | 71 | 68 | 100 | 72 | 100 |
| 抽出されない凡例の3次メッシュ数 | 10 | 9 | — | 16 | — |
| 全3次メッシュ数 | 2,000 | | | | |

一方 a~e.のデータ抽出法別に見た出現頻度上位 20 群落までの結果を表 4.2 に、それらを順位およびメッシュ数で図示したものを図 4.1、

図 4.2、図 4.3 に示す。なお c と e のメッシュ数は補正済み(3.1 参照)の数値を使用して図化している。全群落についての表は資料 1 を参考のこと。

表 4.2 調査回別データ抽出法別の群落出現頻度上位 20 傑

| 凡例コード | 凡例名 | 第5回調査 | | | | | | 第6回調査 | | | | | |
|--------|----------------|-------------|-------|--------------|-------|------------|-------|--------------|----|------------|----|-------|------------|
| | | a.小円選択法(目視) | | b.小円選択法(GIS) | | c.GIS面積実測値 | | d.小円選択法(GIS) | | e.GIS面積実測値 | | | |
| | | 順位 | メッシュ数 | 順位 | メッシュ数 | 順位 | メッシュ数 | ※補正済みメッシュ数 | 順位 | メッシュ数 | 順位 | メッシュ数 | ※補正済みメッシュ数 |
| 540100 | スギ・ヒノキ・サワラ植林 | 1 | 468 | 1 | 469 | 1 | 485 | 462 | 1 | 564 | 1 | 569 | 543 |
| 580100 | 市街地 | 2 | 216 | 3 | 218 | 3 | 195 | 186 | 4 | 129 | 4 | 145 | 138 |
| 220102 | クリ・ミズナラ群集 | 3 | 204 | 2 | 219 | 2 | 211 | 201 | 2 | 195 | 2 | 198 | 189 |
| 570300 | 畑地雑草群落 | 4 | 186 | 4 | 189 | 4 | 186 | 177 | 3 | 145 | 3 | 154 | 147 |
| 570400 | 水田雑草群落 | 5 | 105 | 5 | 106 | 5 | 119 | 114 | 9 | 70 | 7 | 86 | 82 |
| 410100 | コナラ群落 | 6 | 95 | 6 | 85 | 7 | 81 | 77 | 10 | 46 | 12 | 46 | 44 |
| 250200 | ススキ群団(V) | 7 | 84 | 7 | 82 | 6 | 89 | 85 | 11 | 44 | 11 | 47 | 45 |
| 540700 | カラマツ植林 | 8 | 81 | 8 | 77 | 9 | 80 | 76 | 8 | 76 | 8 | 84 | 80 |
| 130101 | ヤマボウシ・ブナ群集 | 9 | 72 | 9 | 71 | 8 | 81 | 77 | 7 | 76 | 9 | 75 | 71 |
| 450100 | ススキ群団(VII) | 10 | 61 | 10 | 64 | 10 | 66 | 63 | 23 | 13 | 22 | 14 | 14 |
| 050102 | シラビソ・オオシラビソ群集 | 11 | 42 | 11 | 45 | 11 | 48 | 46 | 13 | 36 | 13 | 42 | 40 |
| 560100 | ゴルフ場・芝地 | 12 | 35 | 13 | 32 | 12 | 42 | 40 | 12 | 44 | 10 | 48 | 45 |
| 580700 | 自然裸地 | 13 | 30 | 14 | 31 | 14 | 34 | 33 | 18 | 20 | 21 | 17 | 16 |
| 140801 | シノブカグマ・ヒノキ群集 | 14 | 28 | 12 | 33 | 15 | 32 | 31 | 33 | 5 | 25 | 12 | 12 |
| 240101 | ニシキウツギ・ノリウツギ群集 | 15 | 27 | 15 | 29 | 13 | 38 | 36 | 38 | 3 | 39 | 5 | 4 |
| 570201 | 茶畑 | 16 | 23 | 18 | 22 | 18 | 23 | 22 | 19 | 19 | 18 | 21 | 20 |
| 580600 | 開放水域 | 17 | 22 | 16 | 24 | 21 | 22 | 21 | 15 | 28 | 16 | 22 | 21 |
| 540200 | アカマツ植林 | 18 | 22 | 17 | 23 | 19 | 23 | 22 | 20 | 19 | 19 | 20 | 19 |
| 541103 | シラビソ植林 | 19 | 18 | 19 | 19 | 22 | 16 | 15 | 14 | 29 | 14 | 29 | 28 |
| 580101 | 緑の多い住宅地 | 20 | 17 | 20 | 19 | 17 | 25 | 23 | 5 | 121 | 5 | 120 | 114 |

注) この表のデータ抽出法別の順位は各データ抽出法で出現頻度の多いものから 1 から順に番号を振ったものであり、並びは a.小円選択法(目視)の順位にあわせてのものである。

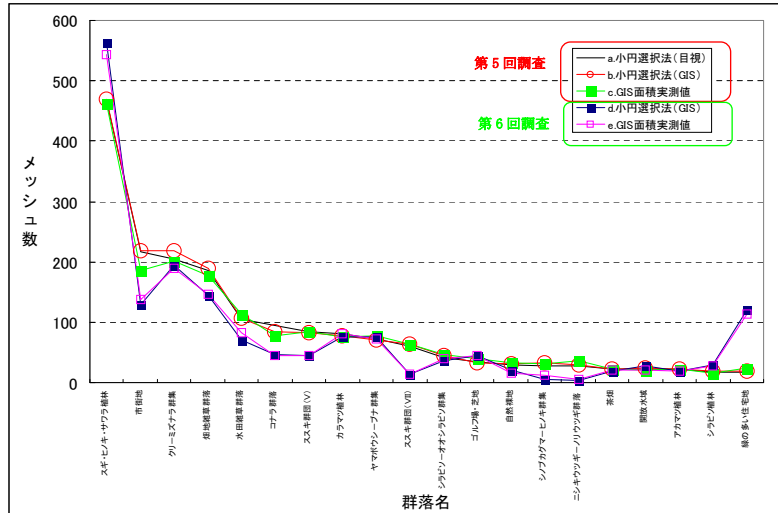


図 4.1 調査回別データ抽出法別群落別メッシュ数

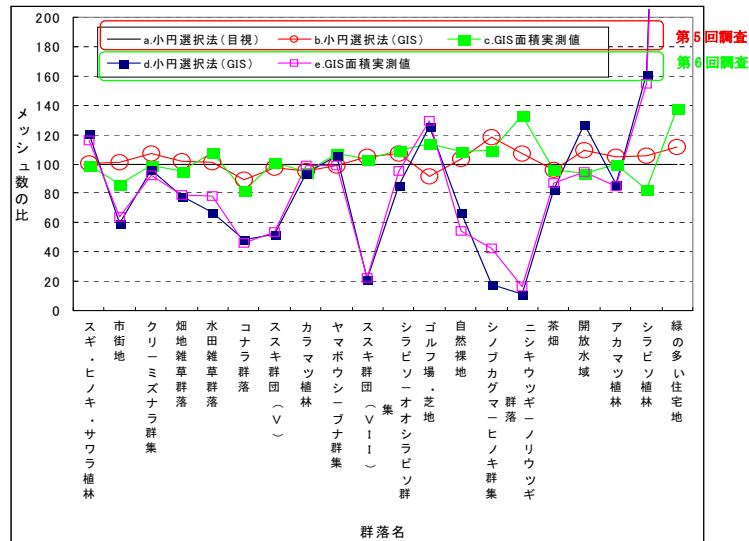


図 4.2 調査回別データ抽出法別群落別メッシュ数 (群落別に a の面積を 100 として示したもの)

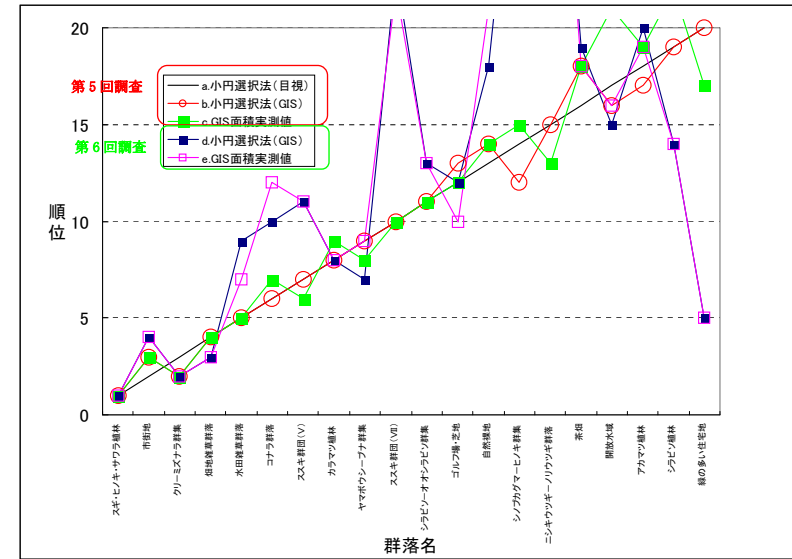


図 4.3 調査回別データ抽出法別群落別メッシュ数順位 (群落別の出現頻度の順位を示したもの)

4.1.1. 第5回調査で実施した小円選択法の検証

小円選択法は細かい植生単位も漏らさず抽出できるように考案された手法であるが、表 4.1 の抽出群落数のおり、全植生群落 (c 及び e) の約 7 割が抽出されていることがわかる。

また抽出漏れとなった群落の合計メッシュ数について c 及び e の 3 次メッシュ数で集計すると 9~16 メッシュとなり、その数は全体のわずか 0.5% 程度であることがわかる。

これらを踏まえると実用上特に問題のないレベルで抽出されているものと考えられる。

また a の第 5 回調査の小円選択法は判定が目視に於いて行われているが、その検証を GIS 計測値である b のデータに対して行った。

全 3 次メッシュ数 2,000 のうち、群落が一致するものは 1,728 メッシュで全体の約 86% が一致する結果となった。残りの 14% については判定ミスなども含まれるが、概ね図 4.4 のような場合であり、目視では判定が難しいものがあつたと考えられる。

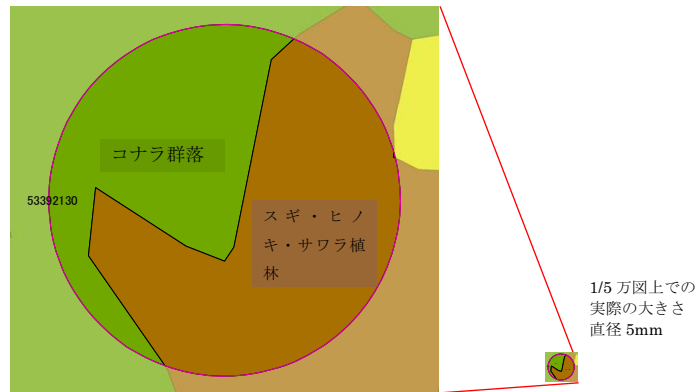


図 4.4 目視で判断が困難な例 3 次メッシュ 53392130

GIS での計測の結果、小円内のコナラの面積は 2.2ha、スギ・ヒノキ・サワラ植林の面積は 2.8ha となっており、b ではスギ・ヒノキ・サワラ植林に区分される。

一方目視で計測された a ではコナラ群落に設定されている。

1/5 万図上では直径 5mm の円 (図右側) を読み取ることになるが、この例からもこのような判定誤差が十分に含まれたものであることが分かる。

4.1.2. データ抽出法ごとに把握されるメッシュ数の比較

表 4.2 及び図 4.1、図 4.2、図 4.3 を群落別にデータの抽出法に着目して見ると以下のような傾向が見られる。

- ・ 実際の面積値から計算した c と e のメッシュ数と、a、b、d の小円選択法の値とはほぼ同じ数値となる。
- ・ 多少の誤差はあるが概ね 20% 程度の範囲内に含まれていると言える。

4.2 第5回調査と第6回調査との比較

次いで調査回に着目して両者の比較を実施した。

比較検討にあたり、単なる植生の増減だけでなく、第 6 回調査での凡例の見直し、縮尺の違いや図化基準の変更などによる凡例適用の違いなどの影響も含まれることが考えられるため、全体的な状況について触れた後に個別の変化傾向について触れ、その要因を検討することとした。

個別の変化傾向を検討する場合、メッシュ化データのみでその作業を実施すると、メッシュ化による情報の変換が変化の真の要因を分かりにくくしてしまうことが考えられる。特に今回のように比較をする両者で調査手法が変わっている場合にはその傾向が大きくなるため、まず始めに GIS データの実面積による比較を行うこととした。

4.2.1. 全体的傾向

- ・ スギ・ヒノキ・サワラ植林、ゴルフ場・芝地、緑の多い住宅地を除くとほぼ全ての群落でメッシュ数が減少している。
- ・ 順位で見ると、ヤマボウシブナ群集、シラビソ植林、緑の多い住宅地で上がっている。一方市街地、水田雑草群落、コナラ群落、ススキ群団 (V)、ススキ群団 (VII)、シラビソ-オオシラビソ群集では下がっている。

4.2.2. 実面積による比較

全対象地域の改変地のうち、代表的な変化パターンについて表 4.3 と図 4.5 に示した。

変化要因のうち 1、2、4、5 は通常起こりえる変化であり、特に図 4.1 等でスギ・ヒノキ・サワラ植林地が大幅に増加していることなどは植林地の拡大がもたらした変化であることが分かる。

3 は主に凡例の適用の違いの影響による変化である。

第 5 回調査の植生図は実際には大部分が第 2 回、第 3 回調査の時の植生図であり、凡例も当時の知見に基づいたものである。しかし既に作成から 20 年程度の時間を経過していることから、その後の調査研究の進歩を踏まえ第 6 回調査時点もしくは実際の植生図作成の時点で凡例について解釈を変更した結果が含まれたものとなっている。

表 4.3 第5回調査から第6回調査への主な変更パターンとその変更理由

| 化 | 化 ターン | 第5回調査(調査 1979, 1984) | | 第6回調査(調査 2004) | | 面積 a | その他の | |
|---------------|----------|----------------------|--------------|----------------|----------------|----------|----------------|--------------------|
| | | 凡例名 | 凡例名 | 凡例名 | 凡例名 | | | |
| 1. 植林地の | 二次林 植林 | 二次林 | コナラ群落 | 植林 | スギ・ヒノキ・サワラ植林 | 5,824 | 地、丘 地に る 植林地の | |
| | | | クレーミズナラ群落 | | スギ・ヒノキ・サワラ植林 | 3,621 | | |
| | 二次草原 植林 | 二次草原 | ススキ群団(V) | | スギ・ヒノキ・サワラ植林 | 2,290 | 辺で にみ れる ターン | |
| | | | ススキ群団(VII) | | スギ・ヒノキ・サワラ植林 | 2,012 | | |
| | 耕作地 植林 | 耕作地 | 畑地雑草群落 | | スギ・ヒノキ・サワラ植林 | 1,234 | 畑の植林地化 | |
| 2. 自然 | 二次林 自然林 | 二次林 | クレーミズナラ群落 | 自然林 | ヤマボウシ・ナラ群落 | 1,287 | 20 の 化 面積が い | |
| | 二次林 二次林 | 二次林 | クレーミズナラ群落 | 二次林 | クレーミズナラ群落 | 1,649 | | 低木二次林が自然 により 木二次林に |
| 3. 凡例 用による 違 | その他 自然草原 | その他 | 自然裸地 | 自然草原 | フシタゾノ・オンタデ群落 | 1,225 | の凡例 用 第6回で された | |
| | 二次林 二次林 | 二次林 | コナラ群落 | 二次林 | アカンデー・イシダ群落(V) | 3,388 | 凡例 用の違い | |
| | | | クレーミズナラ群落 | | アカンデー・イシダ群落(V) | 3,085 | | |
| | | 二次草原 二次草原 | 二次草原 | ススキ群団(VII) | 二次草原 | ススキ群団(V) | 1,486 | クラス域の り の 違 |
| | | 耕作地 | 畑地雑草群落 | | 市街地等 | 緑の多い住宅地 | 2,075 | 凡例 用による 違 |
| | | 市街地等 市街地等 | 市街地等 | 市街地 | 市街地等 | 緑の多い住宅地 | 4,409 | |
| | 耕作地 市街地等 | 耕作地 | 水田雑草群落 | 耕作地 | 畑地雑草群落 | 1,604 | 水田を畑に | |
| 4. 市街地化 | 耕作地 市街地等 | 耕作地 | 畑地雑草群落 | 市街地等 | 市街地 | 2,053 | 市街地化 | |
| | | 耕作地 | 水田雑草群落 | 耕作地 | 畑地雑草群落 | 1,604 | | |
| | | 耕作地 | 水田雑草群落 | 耕作地 | 畑地雑草群落 | 1,604 | | |
| 5. 耕作地の 作 | 耕作地 市街地等 | 耕作地 | 水田雑草群落 | 耕作地 | 畑地雑草群落 | 1,604 | 水田を畑に | |
| | | 耕作地 | 水田雑草群落 | 耕作地 | 畑地雑草群落 | 1,604 | | |
| | | 耕作地 | 水田雑草群落 | 耕作地 | 畑地雑草群落 | 1,604 | | |
| 6. 常 り ない ターン | 植林 二次林 | 植林 | スギ・ヒノキ・サワラ植林 | 二次林 | コナラ群落 | 3,879 | 常 ない 化 | |
| | | | スギ・ヒノキ・サワラ植林 | | アカンデー・イシダ群落(V) | 2,058 | | |
| | 植林 植林 | 植林 | アカマツ植林 | 植林 | カラマツ植林 | 1,307 | | い れ の の 違いの 性り |

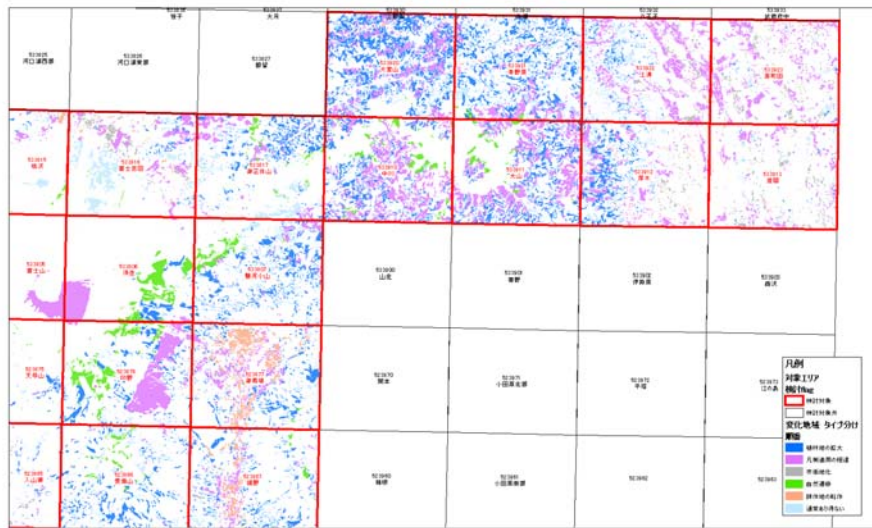


図 4.5 第5回調査から第6回調査にかけて主な変更のあった地域

図 4.1 等でも見られるように緑の多い住宅地が大幅に増加している。

図 4.6 は市街地である神奈川県相模原市地域の土地利用変化を示したものであるが、緑や黄色で示した部分で緑の多い住宅地が増加していることが分かる。

この地域では実際の増加よりもむしろ縮尺や植生図化に関連する事項が大きく影響している。

特にオルソ画像と GIS による図化を行うと、地図の縮尺以上に地物が判読できるためその影響が大きく関係している。

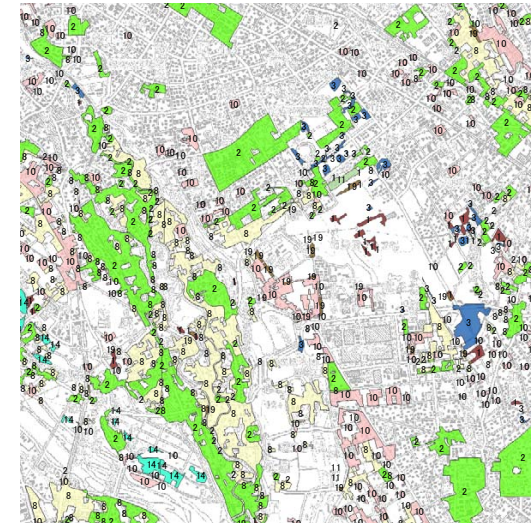


図 4.6 市街地における土地利用変化

緑：市街地→緑の多い住宅地、黄：畑地→緑の多い住宅地、赤：畑地→市街地

表 4.4 市街地、緑の多い住宅地等の面積は市街地、緑の多い住宅地と、変更前の土地利用と考えられる水田、畑などの農地の面積を抽出したものであるが、緑の多い住宅地の面積増加分が 9,516ha、市街地と農地の減少分が 8,154ha でありこの両者がほぼ相殺されていることが分かる。

表 4.4 市街地、緑の多い住宅地等の面積

| | 第5回調査 | 第6回調査 | 増減 |
|------------------|--------|--------|--------|
| 市街地 | 21,125 | 19,803 | -1,322 |
| 緑の多い住宅地 | 2,457 | 11,973 | 9,516 |
| 市街地+緑の多い住宅地 | 23,582 | 31,776 | 8,194 |
| 水田、畑 | 20,035 | 13,203 | -6,832 |
| 市街地+緑の多い住宅地+水田、畑 | 43,617 | 44,979 | 1,362 |

注) 面積の単位は ha

4.2.3. メッシュ毎の比較

a、b、dのデータ抽出法を用いて3次メッシュ毎の群落の比較を行った。

10メッシュ以上の変化のあった主な変化パターンをa→d、b→dそれぞれ表4.5と表4.6に示す。

表 4.5 第5回調査の小円選択法抽出結果 (a.目視) と第6回調査の小円選択法抽出結果 (d.GIS)

| 第5回調査 | | 第6回調査 | | 3次メッシュ数 |
|--------------|----------------|---------------|-----------------|---------|
| a.小円選択法 (目視) | | d.小円選択法 (GIS) | | |
| 凡例コード | 凡例名 | 凡例コード | 凡例名 | |
| 410100 | コナラ群落 | 540100 | スギ・ヒノキ・サワラ植林 | 49 |
| 580100 | 市街地 | 580101 | 緑の多い住宅地 | 46 |
| 220102 | クリーミズナラ群集 | 540100 | スギ・ヒノキ・サワラ植林 | 36 |
| 410100 | コナラ群落 | 220700 | アカシデ・イヌシデ群落 (V) | 36 |
| 220102 | クリーミズナラ群集 | 220700 | アカシデ・イヌシデ群落 (V) | 34 |
| 540100 | スギ・ヒノキ・サワラ植林 | 410100 | コナラ群落 | 23 |
| 570400 | 水田雑草群落 | 570300 | 畑地雑草群落 | 20 |
| 220102 | クリーミズナラ群集 | 410100 | コナラ群落 | 17 |
| 220102 | クリーミズナラ群集 | 130101 | ヤマボウシ・ブナ群集 | 16 |
| 570300 | 畑地雑草群落 | 580100 | 市街地 | 16 |
| 570300 | 畑地雑草群落 | 580101 | 緑の多い住宅地 | 16 |
| 250200 | ススキ群団 (V) | 540100 | スギ・ヒノキ・サワラ植林 | 16 |
| 450100 | ススキ群団 (V I I) | 250200 | ススキ群団 (V) | 14 |
| 540100 | スギ・ヒノキ・サワラ植林 | 220102 | クリーミズナラ群集 | 13 |
| 540100 | スギ・ヒノキ・サワラ植林 | 220700 | アカシデ・イヌシデ群落 (V) | 12 |
| 450100 | ススキ群団 (V I I) | 540100 | スギ・ヒノキ・サワラ植林 | 12 |
| 580700 | 自然裸地 | 020602 | フジハタザオ・オンタデ群集 | 12 |
| 540700 | カラマツ植林 | 540200 | アカマツ植林 | 11 |
| 570400 | 水田雑草群落 | 580101 | 緑の多い住宅地 | 10 |
| 540700 | カラマツ植林 | 541103 | シラビソ植林 | 10 |
| 240101 | ニシキウツギーノリウツギ群落 | 220102 | クリーミズナラ群集 | 10 |
| 540200 | アカマツ植林 | 540700 | カラマツ植林 | 10 |

表 4.6 第5回調査の小円選択法抽出結果 (b.GIS) と第6回調査の小円選択法抽出結果 (d.GIS)

| 第5回調査 | | 第6回調査 | | 3次メッシュ数 |
|---------------|----------------|---------------|-----------------|---------|
| b.小円選択法 (GIS) | | d.小円選択法 (GIS) | | |
| 凡例コード | 凡例名 | 凡例コード | 凡例名 | |
| 410100 | コナラ群落 | 540100 | スギ・ヒノキ・サワラ植林 | 49 |
| 580100 | 市街地 | 580101 | 緑の多い住宅地 | 46 |
| 410100 | コナラ群落 | 220700 | アカシデ・イヌシデ群落 (V) | 36 |
| 220102 | クリーミズナラ群集 | 540100 | スギ・ヒノキ・サワラ植林 | 36 |
| 220102 | クリーミズナラ群集 | 220700 | アカシデ・イヌシデ群落 (V) | 34 |
| 540100 | スギ・ヒノキ・サワラ植林 | 410100 | コナラ群落 | 23 |
| 570400 | 水田雑草群落 | 570300 | 畑地雑草群落 | 20 |
| 220102 | クリーミズナラ群集 | 410100 | コナラ群落 | 17 |
| 250200 | ススキ群団 (V) | 540100 | スギ・ヒノキ・サワラ植林 | 16 |
| 570300 | 畑地雑草群落 | 580101 | 緑の多い住宅地 | 16 |
| 570300 | 畑地雑草群落 | 580100 | 市街地 | 16 |
| 220102 | クリーミズナラ群集 | 130101 | ヤマボウシ・ブナ群集 | 16 |
| 450100 | ススキ群団 (V I I) | 250200 | ススキ群団 (V) | 14 |
| 540100 | スギ・ヒノキ・サワラ植林 | 220102 | クリーミズナラ群集 | 13 |
| 580700 | 自然裸地 | 020602 | フジハタザオ・オンタデ群集 | 12 |
| 450100 | ススキ群団 (V I I) | 540100 | スギ・ヒノキ・サワラ植林 | 12 |
| 540100 | スギ・ヒノキ・サワラ植林 | 220700 | アカシデ・イヌシデ群落 (V) | 12 |
| 540700 | カラマツ植林 | 540200 | アカマツ植林 | 11 |
| 540700 | カラマツ植林 | 541103 | シラビソ植林 | 10 |
| 540200 | アカマツ植林 | 540700 | カラマツ植林 | 10 |
| 240101 | ニシキウツギーノリウツギ群落 | 220102 | クリーミズナラ群集 | 10 |
| 570400 | 水田雑草群落 | 580101 | 緑の多い住宅地 | 10 |

代表的な変化について比較したものを表 4.7 代表的な改変地域の変化メッシュ数及び改変面積に示す。

表 4.7 代表的な改変地域の変化メッシュ数及び改変面積

| 第5回 | 第6回 | データ抽出法での比較数値 | | | |
|-----------|--------------|--------------------------|-----------------------|------------------|----|
| | | 小円選択法 | | c→e (GIS 実測値の比較) | |
| | | a→d 目視と GIS 計測値の比較 | b→d ともに GIS 計測値 | | |
| 変化メッシュ数 | 変化メッシュ数 | 改変面積 (ha) | 変化メッシュ数補正值 | | |
| コナラ群落 | スギ・ヒノキ・サワラ植林 | 49 | 49 | 5,824 | 56 |
| クリーミズナラ群集 | スギ・ヒノキ・サワラ植林 | 36 | 36 | 3,621 | 35 |
| 市街地 | 緑の多い住宅地 | 46 | 46 | 4,409 | 42 |

植林地や緑の多い住宅地が増加しているという傾向は4.2.2と同様であるが、改変面積については若干の違いが見られることが分かる。

5 まとめ

本業務では第5回調査と第6回調査の植生図 GIS データを用い、データ化手法の違い及び植生図作成基準が比較解析に及ぼす影響を検証した。

第5回調査時点では小円選択法というデータ化の手法がとられたが、小円選択法によるデータ集計結果を GIS の集計結果と比較した結果によると大きな差はなく、GIS の普及していない当時としてのデータ化手法としては十分なものであることが分かった。

しかし比較解析等を行う場合、第6回調査で植生図の図化縮尺や凡例基準が変更になったことが評価解析には重要であるということもあわせて判明した。

今回の検討結果について植生分科会の奥富座長にヒアリングを行ったところ、神奈川地域については旧植生図の精度は比較的高いため、他の地域でも検証を行う必要があるというご意見を頂いた。

今回の検討対象地域の第6回調査の植生図はアジア航測が作成した地域であり、事前に地域の特徴や凡例の特徴を理解していたため、ある程度の解析時の問題点を把握しておくことが出来たが、一般の利用を想定した場合、単純な凡例比較が出来ないことなどを考え合わせると、データの操作には植生並びに植生図に関してある程度知識を有するものが行うことが望ましいといえる。

資料1 調査回別データ抽出法別の植生メッシュ数 全群落

| 凡例コード | 凡例名 | a.小円選択法(目視) | | | b.小円選択法(GIS) | | | c.GIS実測面積 | | | d.小円選択法(GIS) | | | e.GIS実測面積 | | | | |
|--------|-------------------|-------------|---------|----|--------------|---------|-----|-----------|---------|----|--------------|---------|-----|-----------|---------|-----|----|-----|
| | | 順位 | 3次メッシュ数 | 面積 | 順位 | 3次メッシュ数 | 面積 | 順位 | 3次メッシュ数 | 面積 | 順位 | 3次メッシュ数 | 面積 | 順位 | 3次メッシュ数 | 面積 | | |
| 540100 | スキ・ヒノキ・サワラ植林 | 1 | 468 | 1 | 469 | 1 | 485 | 462 | 48,499 | 1 | 564 | 1 | 569 | 542 | 56,941 | | | |
| 220102 | クリミズナラ群集 | 2 | 216 | 3 | 218 | 3 | 195 | 186 | 19,508 | 4 | 129 | 4 | 145 | 138 | 14,522 | | | |
| 580100 | コナラ群集 | 3 | 204 | 2 | 219 | 2 | 211 | 201 | 21,253 | 2 | 185 | 2 | 198 | 189 | 19,803 | | | |
| 410100 | 市街地 | 4 | 189 | 4 | 189 | 4 | 186 | 177 | 18,565 | 3 | 145 | 3 | 154 | 147 | 15,405 | | | |
| 570300 | 畑地雑草群落 | 5 | 105 | 5 | 106 | 5 | 119 | 114 | 11,911 | 9 | 70 | 7 | 86 | 82 | 8,594 | | | |
| 570400 | 水田雑草群落 | 6 | 95 | 6 | 85 | 7 | 81 | 77 | 8,123 | 10 | 46 | 12 | 46 | 44 | 4,609 | | | |
| 250200 | ススキ群団(V) | 7 | 84 | 7 | 82 | 6 | 89 | 85 | 8,902 | 11 | 44 | 11 | 47 | 45 | 4,711 | | | |
| 540700 | カラマツ植林 | 8 | 81 | 8 | 77 | 9 | 80 | 76 | 8,003 | 8 | 76 | 8 | 84 | 80 | 8,432 | | | |
| 130101 | ヤマボウシササ群集 | 9 | 72 | 9 | 71 | 8 | 81 | 77 | 8,072 | 7 | 76 | 9 | 75 | 71 | 7,488 | | | |
| 450100 | ススキ群団(VII) | 10 | 61 | 10 | 64 | 10 | 66 | 63 | 6,633 | 23 | 13 | 22 | 14 | 14 | 1,435 | | | |
| 540200 | アカマツ植林 | 11 | 42 | 11 | 45 | 11 | 48 | 46 | 4,822 | 13 | 36 | 13 | 42 | 40 | 4,209 | | | |
| 560100 | ゴルフ場:芝地 | 12 | 35 | 13 | 32 | 12 | 42 | 40 | 4,167 | 12 | 44 | 10 | 48 | 45 | 4,751 | | | |
| 050102 | シラビソ・オシラビソ群集 | 13 | 30 | 14 | 31 | 14 | 34 | 33 | 3,425 | 18 | 20 | 21 | 17 | 16 | 1,701 | | | |
| 580700 | 自然雑地 | 14 | 28 | 12 | 33 | 15 | 32 | 31 | 3,209 | 33 | 5 | 25 | 12 | 12 | 1,234 | | | |
| 240101 | ニシキウツギ・ノリウツギ群落 | 15 | 27 | 15 | 29 | 13 | 38 | 36 | 3,779 | 38 | 3 | 39 | 5 | 4 | 464 | | | |
| 580600 | 開放水域 | 16 | 23 | 18 | 22 | 18 | 23 | 22 | 2,320 | 19 | 19 | 18 | 21 | 20 | 2,096 | | | |
| 140801 | シノブカグマ・ヒノキ群集 | 17 | 22 | 16 | 24 | 21 | 22 | 21 | 2,154 | 15 | 28 | 16 | 22 | 21 | 2,180 | | | |
| 570201 | 茶畑 | 18 | 22 | 17 | 23 | 19 | 23 | 22 | 2,309 | 20 | 19 | 19 | 20 | 19 | 1,960 | | | |
| 541103 | シラビソ植林 | 19 | 18 | 19 | 19 | 22 | 16 | 15 | 1,554 | 14 | 29 | 14 | 29 | 28 | 2,928 | | | |
| 580101 | 緑の多い住宅地 | 20 | 17 | 20 | 19 | 17 | 25 | 23 | 2,457 | 5 | 121 | 5 | 120 | 114 | 11,973 | | | |
| 250300 | 伐採跡地群落(V) | 21 | 15 | 21 | 16 | 23 | 22 | 21 | 2,169 | 41 | 2 | 46 | 3 | 3 | 265 | | | |
| 580300 | 丘草地帯 | 22 | 14 | 22 | 13 | 23 | 14 | 13 | 1,409 | 16 | 26 | 15 | 23 | 22 | 2,277 | | | |
| 580400 | 湛水地 | 23 | 13 | 23 | 12 | 16 | 25 | 24 | 2,539 | 31 | 7 | 32 | 9 | 8 | 862 | | | |
| 130200 | イヌフナ群落 | 24 | 11 | 25 | 10 | 29 | 9 | 9 | 896 | 22 | 16 | 23 | 14 | 13 | 1,356 | | | |
| 541102 | ウラジロモミ植林 | 25 | 11 | 29 | 6 | 24 | 14 | 13 | 1,413 | 21 | 18 | 20 | 19 | 18 | 1,882 | | | |
| 220700 | アカシデ・メシジロ群落(V) | 26 | 10 | 24 | 10 | 30 | 9 | 8 | 870 | 6 | 113 | 6 | 107 | 102 | 10,721 | | | |
| 140102 | カニコウモリ・ウラジロモミ群集 | 27 | 9 | 26 | 10 | 31 | 9 | 8 | 865 | 26 | 11 | 29 | 9 | 9 | 913 | | | |
| 570200 | 果樹園 | 28 | 9 | 34 | 4 | 23 | 15 | 15 | 1,547 | 47 | 1 | 42 | 3 | 3 | 313 | | | |
| 460000 | 伐採跡地群落(VII) | 29 | 8 | 28 | 8 | 26 | 11 | 11 | 1,105 | 41 | 4 | 43 | 3 | 3 | 300 | | | |
| 290104 | ヤマツツジ・アカマツ群集(自然林) | 30 | 7 | 27 | 9 | 27 | 10 | 9 | 959 | 48 | 1 | 56 | 1 | 1 | 96 | | | |
| 020602 | フジ・ハタザオ・オシラビソ群集 | 31 | 6 | 30 | 5 | 32 | 9 | 8 | 844 | 17 | 23 | 17 | 21 | 20 | 2,137 | | | |
| 060108 | タカネノカリヤス・ダケカンバ群集 | 32 | 6 | 32 | 5 | 34 | 4 | 4 | 437 | 37 | 3 | 37 | 5 | 5 | 545 | | | |
| 520401 | フジアサミ・ヤマホタルフクロ群集 | 33 | 5 | 33 | 5 | 28 | 9 | 9 | 897 | 25 | 11 | 24 | 13 | 12 | 1,281 | | | |
| 050105 | カラマツ群落 | 34 | 4 | 36 | 3 | 37 | 3 | 3 | 334 | 28 | 9 | 27 | 11 | 10 | 1,091 | | | |
| 250100 | ササ群落(V) | 35 | 4 | 43 | 1 | 58 | 0 | 0 | 41 | | | | | | | | | |
| 140101 | ウラジロモミ・コマツガ群落 | 36 | 3 | 35 | 3 | 38 | 3 | 3 | 289 | 36 | 4 | 33 | 8 | 8 | 788 | | | |
| 280101 | シキミ・モミ群集 | 37 | 3 | 37 | 3 | 41 | 2 | 2 | 193 | 32 | 6 | 31 | 9 | 8 | 873 | | | |
| 470502 | オキ群落 | 38 | 3 | 40 | 2 | 35 | 4 | 4 | 397 | 40 | 3 | 44 | 3 | 3 | 292 | | | |
| 570100 | 疎林・空地雑草群落 | 39 | 3 | 46 | 1 | 42 | 2 | 2 | 191 | 27 | 11 | 26 | 12 | 11 | 1,204 | | | |
| 570202 | 常緑果樹園 | 40 | 3 | 39 | 2 | 36 | 3 | 3 | 348 | 50 | 1 | 54 | 1 | 1 | 108 | | | |
| 160202 | イロハタネ・シオン群集 | 41 | 2 | | | | | | 34 | 30 | 8 | 33 | 7 | 6 | 671 | | | |
| 300102 | イロハモミ・ケヤキ群集 | 42 | 2 | 41 | 2 | 53 | 1 | 1 | 79 | | 4 | 45 | 3 | 3 | 276 | | | |
| 420101 | ヤマツツジ・アカマツ群集 | 43 | 2 | 39 | 2 | 39 | 2 | 2 | 223 | 24 | 12 | 28 | 10 | 10 | 1,002 | | | |
| 490000 | 砂丘植生 | 44 | 2 | | | | | | | | | | | | | | | |
| 540300 | クロマツ植林 | 45 | 2 | 49 | 1 | 51 | 1 | 1 | 85 | | 57 | 1 | 1 | 1 | 69 | | | |
| 130104 | オオモミシガササ群集 | 46 | 1 | 31 | 5 | 33 | 5 | 5 | 506 | 29 | 8 | 34 | 7 | 7 | 695 | | | |
| 190000 | 崖角地・風衝地低木群落 | 47 | 1 | | | | | | 182 | 35 | 5 | 30 | 9 | 9 | 896 | | | |
| 250105 | ハコブタ群落 | 48 | 1 | 48 | 1 | 45 | 1 | 1 | 130 | 44 | 1 | 53 | 1 | 1 | 108 | | | |
| 270101 | シラカシ群集 | 49 | 1 | 50 | 1 | 44 | 2 | 2 | 159 | | 51 | 2 | 2 | 2 | 165 | | | |
| 271601 | イノテ・タノキ群集 | 50 | 1 | | | | | | | | 72 | 0 | 0 | 0 | 11 | | | |
| 550000 | 竹林 | 51 | 1 | | | | | | 112 | 49 | 1 | 49 | 2 | 2 | 172 | | | |
| 570101 | 畑放棄雑草群落 | 52 | 1 | | | | | | 111 | | 58 | 1 | 1 | 1 | 60 | | | |
| 080100 | ダケカンバ群落(III) | 53 | | 47 | 1 | 50 | 1 | 1 | 98 | 43 | 2 | 41 | 3 | 3 | 315 | | | |
| 100000 | 伐採跡地群落(III) | 54 | | 42 | 1 | 48 | 1 | 1 | 106 | 46 | 1 | 60 | 0 | 0 | 42 | | | |
| 140601 | コナラステーツガ群集 | 55 | | | | | | | 41 | 34 | 5 | 36 | 7 | 6 | 662 | | | |
| 160403 | オオモミ・ケヤキ群集 | 56 | | | | | | | 80 | 45 | 1 | 47 | 2 | 2 | 228 | | | |
| 210201 | フナギ・カシ・ヤマシキツノ群集 | 57 | | | | | | | 69 | | 64 | 0 | 0 | 0 | 26 | | | |
| 220902 | レンガツツジ・シラカンバ群集 | 58 | | | | | | | 6 | 51 | 1 | 66 | 0 | 0 | 24 | | | |
| 270500 | ウラジロカシ群落 | 59 | | 44 | 1 | 40 | 2 | 2 | 217 | | 67 | 0 | 0 | 0 | 24 | | | |
| 271201 | ヤブコウジ・スタジイ群集 | 60 | | | | | | | 67 | 0 | 4 | | 74 | 0 | 4 | | | |
| 300101 | コサギ・ケヤキ群集 | 61 | | | | | | | 64 | 0 | 11 | | 63 | 0 | 27 | | | |
| 320200 | ヤナキ低木群落(VI) | 62 | | | | | | | 68 | 0 | 3 | 53 | 1 | 70 | 0 | 12 | | |
| 320401 | タマアサイ・フサザクラ群集 | 63 | | | | | | | 63 | 0 | 14 | | 48 | 2 | 221 | | | |
| 400100 | シイ・カシ二次林 | 64 | | 45 | 1 | 55 | 1 | 1 | 75 | 39 | 3 | 38 | 5 | 5 | 505 | | | |
| 400104 | シラカシ雑草林 | 65 | | | | | | | 82 | 0 | 13 | | 56 | 1 | 73 | | | |
| 440000 | 低木群落 | 66 | | | | | | | 85 | 0 | 9 | 42 | 2 | 40 | 4 | 370 | | |
| 440200 | クズ群落 | 67 | | | | | | | 73 | 0 | 1 | | 68 | 0 | 20 | | | |
| 470400 | ヨシクラス | 68 | | | | | | | 70 | 0 | 2 | | 69 | 0 | 15 | | | |
| 470401 | ミソソバ・ヨシ群落 | 69 | | | | | | | | 0 | | | 73 | 0 | 8 | | | |
| 470501 | ツルヨシ群集 | 70 | | | | | | | 49 | 1 | 1 | 101 | | 59 | 0 | 48 | | |
| 540902 | ニセアカシア群落 | 71 | | | | | | | 71 | 0 | 0 | 1 | | 61 | 0 | 38 | | |
| 541000 | その他雑林 | 72 | | | | | | | 69 | 0 | 0 | 3 | | 50 | 2 | 169 | | |
| 541200 | その他雑林(落葉広葉樹) | 73 | | | | | | | 54 | 1 | 1 | 79 | | 71 | 0 | 11 | | |
| 570500 | 水田放棄雑草群落 | 74 | | | | | | | 81 | 0 | 0 | 18 | | 62 | 0 | 34 | | |
| 580200 | 残存・植栽樹群をもった公園、墓地等 | 75 | | | | | | | 61 | 0 | 0 | 29 | 52 | 1 | 52 | 2 | 11 | 157 |

注) 表の並び順は「a.小円選択法(目視)」の順位を基本にした。

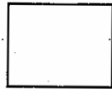
(5) メッシュ読取の手法についての検討

植生図における群落型の分布を、メッシュ表示に変換するに当って、いく通りかの読み取り法について検討し、その精度等について考察した。

ア 各手法及びその特徴

(ア) 多面積群落選択法

メッシュ内において、最も面積の大きい群落型で代表する。同面積の場合には自然度の高い群落型で代表する。この場合、同ランクの時には、コード番号の若い群落型で代表する。

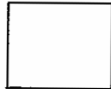


特徴；一定以上のまとまった面積を持たない群落型は欠落する。

(イ) 植生群落選択法

メッシュ内において、最も自然度の高い群落型で代表する。同ランクの場合には、面積の多い方を取り、さらに同面積の場合には、コード番号の若いもので代表する。

(径3mm以下の群落は無視する)



特徴；局地的な、特殊群落も拾われる半面が必要以上に大きくなる。

(ロ) 交点選択法

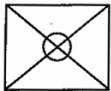
メッシュ内の中心点に位置する群落型で代表する。



特徴；偶然性が最も強い。

(ハ) 小円選択法

メッシュ内の中央に直径5mmの円(約5ha)を設定し、その円内において多面積を占める群落型で、そのメッシュ全体を代表する。同面積の場合は自然度の高いものを取り、さらに同ランクの場合には、コード番号の若い群落型で代表する。



特徴；3の偶然性を是正し、1における欠落を防止するものである。

イ ケース・スタディ

以上の4手法について、平地から山岳地に至る植生の性格の異なる次の3図幅を用い作業を行った。

- 古川 —— 古川市の市街地や大小の集落地を中心に水田地帯が広がり、周辺(宮城県)に丘陵性の里山が位置している。
- 岩ヶ崎 —— 面積の多くが、100~300mの低山地によって占められており、これらの谷あい及び開口部に、水田、集落が立地している。
- 栗駒山 —— 栗駒山(1,627m)をはじめとして、面積の多くが、400~500m以上の山地によって占められており、谷あいに小規模の水田と集落が立地する。

植生図に透明メッシュ・マスクをかけ、以上の4方法での群落型の読み取りを行い各々について各群落型ごとのメッシュ数を集計し、これに各図幅の1メッシュ当りの面積を乗じたものと測定による当該群落の面積とを比較した。

なお面積の測定は、日本林業技術協会発行の点格子によった。

その結果、(ア)、(イ)については当初から予想されたとおりいちぢるしい片よりをみせ、(ロ)、(ハ)については、ほぼ同様の結果であった。これらの結果を自然度判定委員会にはかったところ、(ア)と(イ)の長所をあわせもった(ハ)、すなわち小円選択法によって、若干の修正を加え作業を行うこととなった。

ウ 小円選択法によるメッシュ変換の基準

(ア) あらかじめ、ポリエステル・フィルム上の各メッシュ中心に直径5mmの円を整図しておき、その円内において多面積を占める群落型で、そのメッシュ全体を代表するものとする。

(イ) 小円内において、2つ以上の群落型がほぼ等面積を占める場合は円心に位置する群落型で代表するものとする。

(ロ) さらに(イ)において、円心上に群落の境界が位置する場合は、当該ユニット全体で、最大面積を占める群落型で代表するものとする。

(ハ) 水面についても群落型と同様に取り扱いが、以上の手法で、水面と評価されたユニットは空白として線でかこみ、チェックをできるようにした。

なお、読み取りのミスを防ぐため内水面には・印を記入することとした。また地図上水面であっても、水辺植物群落及び沈水植物群落などの表示のあるものは、その群落で読み取ることにした。

Nakagoshi, N., Hikasa, M., Koarai, M., Goda, T. & Sakai, I. (1998)
 Grid map analysis and its application for detecting vegetation changes in Japan
Applied Vegetation 1 : 219-224

Applied Vegetation Science 1: 219-224, 1998
 © IAVS, Opulus Press Uppsala. Printed in Sweden

219

Grid map analysis and its application for detecting vegetation changes in Japan

Nakagoshi, Nobukazu¹, Hikasa, Mutsumi¹, Koarai, Mamoru², Goda, Toshiyuki³ & Sakai, Isao³

¹Graduate School for International Development and Cooperation, Hiroshima University, 1-5-1 Kagamiyama, Higashi-Hiroshima 739-8529, Japan; Fax +81 824 24 6904; E-mail nobu@ipc.hiroshima-u.ac.jp;

²Nature Conservation Bureau, Environment Agency, 1-2-2 Kasumigaseki, Tokyo 100-8975, Japan; Tel. +81 3 3581 3351; ³Asia Air Survey, Co. Ltd., 4-2-18 Shinjuku, Tokyo 160-0022, Japan; Tel. +81 3 5379 2155

Abstract. Grid maps are used as a basic vegetation data base in Japan; they are simplified from vector-based vegetation maps. We estimated the frequency error or lack of information corresponding to reduced resolution and examined the reliable limits of this data base. We produced 10 grid maps on five different scales from 50 m to 1000 m using two different methods using both the whole cell (W-method) and only the central circle (C-method) from a vegetation map at scale 1:25 000. We found that patches larger than the area of a cell on a vector-based map could be kept almost certainly on any map, but many patches of less than the cell size were lost. The number of missing patches with the C-method is fewer at every scale than those with the W-method. Though the value of Morisita's $C\lambda(p)$ index showed that the similarity with the original map was high - from the 50-m to the 200-m resolution - it was increasingly lower on the 400-m and 1000-m grid maps. The values of the Shannon index on the original map, 50-m and 100-m grid maps were not different, but they decreased from the 200-m to 1000-m grid maps. Because the vegetation data base of the Japanese Environment Agency used a 1000-m C-method grid map, we found that much information on patches less than 100 ha had disappeared. Information about dominant vegetation or large patches is almost accurate in this data base.

Keywords: Cell size; Patch size; Resolution.

Introduction

The grid map technique was developed in geography. Grid maps can show both continuously varying attributes without boundaries (e.g. gradients, physiognomy, temperature), and discontinuous attributes with boundaries (vegetation, soil, land use) in the same unit. Before more advanced computing systems such as geographic information systems (GIS) became popular, data for grid maps could be easily computerized and analysed statistically. When remote-sensing technology developed rapidly during the 1980s, grid maps are more and more often used as the standard data base for landscape analysis in many countries (Driese et al. 1997).

Real, complex forms of objects in landscapes are simplified in grid maps. Grid maps may contain 'errors'

in that they do not always describe correct information on real vegetation, such as area perimeter. They may also lack information on existing vegetation patches which cannot be described because they are too small. Henderson-Sellers et al. (1985) and Meentemeyer & Box (1987) pointed out that lack of spatial information corresponds to reduced resolution. Turner et al. (1989b) compared grid maps of different grain size, which were produced by aggregating adjacent pixels, by indices measuring diversity, dominance and contagion. Landscape ecologists also studied errors related to the change in scales using remote sensing data (e.g. Nellis & Briggs 1989; Benson & MacKenzie 1995; Moody & Woodcock 1995). However, there have been few studies which attempted to quantify the accuracy or errors based on real patch size, although patches are an important element in landscape analysis. The main purpose of this study is to clarify the relationship between cell size and error.

A further aim is to examine a digital data base for Japanese vegetation in a grid form. Initially, vegetation maps in Japan were based on phytosociological units, e.g. that of the Ozegahara basin by T. Suzuki in 1954. From 1969 to 1976 a standard vegetation map covering the whole of Japan was produced for the Cultural Agency of the Ministry of Education, Science and Culture. This was an actual vegetation map at a scale of 1:200 000. The Japanese Environment Agency also made actual and potential natural vegetation maps at a scale of 1:50 000 in 1973. The vegetation maps were made and based on aerial photographs and field surveys. Actual and potential vegetation maps were constructed at the same scale during the second (1979) and third surveys (1983-1986). Since 1973, information on physiognomy, climate and society has been routinely digitized. The standard data style was a grid map on which the cell size is approximately 1000 m × 1000 m. Subsequently, similar grid maps of actual and potential natural vegetation were made during the fourth survey (1988-1992). This map was produced from the above-mentioned actual vegetation map at a scale of 1:50 000. Typically, the attribute of a cell is the largest vegetation type in the whole cell.

220

Nakagoshi, N. et al.

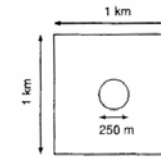


Fig. 1. Cell size and method of raster map construction by the Environment Agency, Japan. The attribute of a cell is the largest vegetation type in a central circle with a diameter of 250 m.

However, in the fourth survey by the Environment Agency a different method was used: a central circle (250 m in diameter) of a cell was taken instead of the whole cell (Fig. 1). In this way, the largest vegetation type within the central circle is the attribute of the cell. The report (Anon. 1994) stated that with this method the risk for missing small patches and including errors can be minimized. However, the report did not clarify how accurate the new method was compared with the previous one.

Mizoguchi (1986) pointed out the weakness in this data base system. Analysis of this data base is difficult because we do not know its reliability. Hess (1994) argued that the lack of information on possible errors ultimately limits our ability to draw statistically valid conclusions about the degree of correlation between landscape pattern and ecological processes. Actually, environmental planners anticipate that ready-made data bases will become useful for environmental impact assessments, planning and conservation (Simomura et al. 1987). If we can determine the type and size of these errors in the data base of the Environment Agency we would know better for which purposes the data base could be applied. We produced some grid maps at different scales and with different methods from a vegetation map in vector form and examined the ratio of remaining patches, similarities between the original map and the grid maps. Then we determined the optimum resolution of the grid maps in relation to the purpose of the map.

Methods

Grid maps

We used the actual vegetation map of Hiwa-cho, Hiroshima Prefecture in Japan on a scale of 1:25 000 (Nakagoshi et al. 1989) as the original map. The original map was based on aerial photos and field surveys, as the Environment Agency's maps. Its minimum mapping unit was 25 m × 25 m. The total research area was 1600 ha (4 km from north to south, 4 km from east to west), and there

were 15 vegetation types. All patches were registered and their areas and perimeters were measured. We constructed 10 grid maps with five different resolutions (the side length of the cells being 50, 100, 200, 400 and 1000 m) and using two different methods, using the whole cell: W-method, and the central circle: C-method (Fig. 2). The diameter of the central circle is a quarter of the side length of a cell, as in the Environment Agency's fourth survey. We recorded not only vegetation types but also the number of patches as attributes of cells, in order to find which spatial information about these patches remained. In the case of cells having patches of the same type on both 400 m and 1000-m grid maps, all of them were recorded.

Statistical analysis

The percentage of missing patches on the 10 grid maps was calculated and the relative areas of the remaining patches were compared with those of missing patches. We also calculated the percentage of each vegetation type to check any increase or decrease due to change in resolution.

After this analysis, the similarities between the original map and the 10 grid maps were calculated by means of two indices. The first one is the $C\lambda(p)$ index (Morisita 1959) which calculates the similarity between two samples based on the number and amount of common vegetation types:

$$C\lambda(p) = \frac{2 \sum_{i=1}^n P_i P_{2i}}{\{\lambda(p) + \lambda(p)2\} \sum_{i=1}^n P_i \sum_{i=1}^n P_{2i}}$$

$$\lambda(p) = \frac{\sum_{i=1}^n P_i^2}{\left(\sum_{i=1}^n P_i\right)^2} \quad (1)$$

where P_{1i} is the proportion of the vegetation type i of sample 1, and n is the number of vegetation types present. If two samples are identical, the value of $C\lambda(p)$ is nearly 1.0. With this approach we can show relative similarity between the original map and any grid map.

The other method used was the Shannon index (Shannon & Weaver 1962):

$$H = - \sum_{i=1}^n (P_i) \log(P_i) \quad (2)$$

where P_i is the proportion of the vegetation type i , and n is the number of vegetation types present. The Shannon index is widely used as a measure of diversity in landscapes.

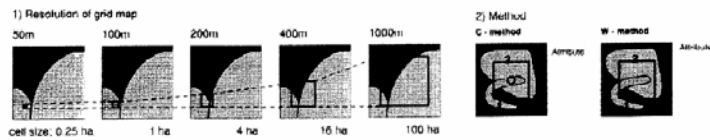


Fig. 2. 1. Different resolutions; resolution is described by the side length of a cell. 2. Method to determine the attribute of a cell. Example of a case where the attributes of a cell differ between the C- and the W-method.

Results

Estimation of error with reducing resolution

The percentage of missing patches was only 4.2 % at the 50 m resolution using the C-method, but it increased rapidly with reduced resolution (Table 1). About 90 % of the patches disappeared on the 1000-m grid map. We compared the relative areas of remaining and missing patches, and calculated the maximum size of missing patches and minimum size of remaining patches (Fig. 3). We found that the patches larger than a cell area would almost certainly remain on any map. The minimum size of remaining patches on the 1000-m grid map was smaller than those on the 400-m grid map. This is because a cell with a coarser resolution often included more than one patch. For example, if a cell includes some patches of vegetation type 1 and their total area is largest, its attributes would be vegetation type 1. In this case, even small patches could remain. Table 2 illustrates the number of patches and mean patch size of the original map. It shows that vegetation types with a smaller area have fewer patches. Generally, vegetation types with a small area are more difficult to keep on a coarser-grid map than large vegetation types. In fact, vegetation types with a smaller area, notably types 7, 8, 10, 11 and 12 were lost on the 200-m to 1000-m grid maps (Table 2). This table shows two problems with coarser grid maps. A 1000-m grid map shows only four or five vegetation types of a total of 15 types in the actual landscape. On the 1000-m grid map, the total area of dominant vegetation types for a whole region such as types 1 and 2 were estimated to be larger than the actual area.

Although the similarity with the original map was high at 200-m resolution, it decreased rapidly on the 400 m and 1000-m grid maps (Fig. 4). The main cause of decrease in value on coarser-resolution maps is the reduction of the vegetation types present. At the 1000-m resolution, the C-method grid maps have one vegetation type more than the W-method maps (Table 2); hence the value of the Shannon index for the C-method grid maps was higher than for the W-method maps. The values of the Shannon index on an original map, 50-m and 100-m

grid maps were not different, but decreased on 200-m, 400-m and 1000-m grid maps (Fig. 5) – because coarser maps have fewer cells.

Both the similarity and diversity based on the C-method were larger than those produced by the W-method. We also found that the number of missing patches in the C-method was less than with the W-method (Table 1). These results seem to indicate that the C-method is able to minimize the loss of small patches as was also reported by the Environment Agency.

Examination of vegetation data of the 4th survey

Taking the previous results into consideration, we examined the data of the 4th survey by the Japanese Environmental Agency, using a 1000-m C-method grid map. Tables 3 and 4, which were reproduced from the Agency's report (Anon. 1994), were combined in a grid-based digital data base. It was shown above that grid maps with a coarser resolution lack many vegetation types and contain certain errors related to the area of the real vegetation. Hence, these aggregations based on coarse grid maps include information for preservation strategies on the basis of the Agency's report.

Table 3 shows the sum and percentage of each vegetation type for the total area of Japan compared to the 3rd survey. The alpine vegetation has changed much since then; the subalpine vegetation changed from primary to

Table 1. Number and proportion of missing patches on each grid map.

| Method | Side length of cell (m) | Number | Proportion (%) | | | |
|----------|-------------------------|--------|----------------|--------------|-----|--------------|
| | | | | C-method (%) | | W-method (%) |
| C-method | 50 | 13 | 4.2 | 50 | 100 | 100 |
| | 100 | 72 | 23.1 | 100 | 100 | 100 |
| | 200 | 182 | 58.5 | 100 | 100 | 100 |
| | 400 | 262 | 84.2 | 100 | 100 | 100 |
| | 1000 | 266 | 85.5 | 100 | 100 | 100 |
| W-method | 50 | 21 | 6.7 | 100 | 100 | 100 |
| | 100 | 113 | 36.3 | 100 | 100 | 100 |
| | 200 | 212 | 68.2 | 100 | 100 | 100 |
| | 400 | 272 | 87.5 | 100 | 100 | 100 |
| | 1000 | 281 | 90.3 | 100 | 100 | 100 |

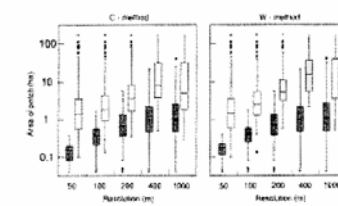


Fig. 3. Area of missing patches (hatched) and remaining patches (open).

secondary vegetation in this period. *Fagetea* forest decreased significantly. The *Camellietea* primary forests decreased as well, they occurred in small patches. The secondary vegetation was also largely lost on the map due to exploitation and conifer plantation. The natural herbaceous vegetation decreased in small areas. On the other hand, monoculture conifer plantations and cropland areas increased even in the economic slump of forestry and agriculture. Residential and commercial areas, included in 'the others', also increased, due to urbanization. The total area of dominant vegetation types was estimated to be larger than the actual area.

Table 4 shows the extension of vegetation types of different degrees of naturalness for the Japanese vegetation as compared to those in the third survey. Naturalness is estimated as the absence of human impact; its ranking from 10 to 1 is based on the concept of potential natural vegetation (Tüxen 1956; Zerbe 1998). If a certain vegetation is close to the potential natural vegetation, its naturalness is ranked high. Vegetation types of rank 10 to 7 decreased in the area – they were converted into planta-

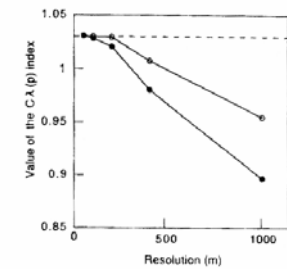


Fig. 4. Similarity between original map and each grid map. ○ = C-method, ● = W-method; --- = Value (1.030) when one map is equivalent to the original map.

tions. Secondary short grasslands of degree 4 increased because golf courses and ski courses were extended. Arable land of degree 2 and urban areas of degree 1 further increased.

The observation of these vegetation changes is taken mainly from the information on large patches (detected in cells of > 100-ha; we do not have complete information on patches smaller than the cell size. Consequently, we cannot detect whether the small patches of these vegetation types increased or decreased. For example, alpine vegetation in Table 3 did not change. This means that large patches of alpine vegetation have been preserved well. But vegetation types with a small area such as mire vegetation may have disappeared or been reduced in some areas (Nakagoshi & Abe 1995).

Table 2. Number and mean size (ha) of patches of each vegetation type, and the proportion (%) of each vegetation type in the research area of Hiwa-cho.

| No. | Vegetation type | Patches/vegetation type | | C-method (%) | | | | | W-method (%) | | | | | |
|-------|---|-------------------------|----------------|--------------|------|------|-------|------|--------------|-------|------|------|------|------|
| | | No. | Mean size (ha) | 50 | 100 | 200 | 400 | 1000 | 50 | 100 | 200 | 400 | 1000 | |
| 1 | <i>Castaneo-Quercetum crispulae</i> (h ≥ 8 m) | 44 | 16.1 | 44.4 | 43.9 | 42.6 | 44.5 | 52.0 | 62.5 | 44.2 | 45.9 | 49.0 | 58.0 | 68.8 |
| 2 | <i>Castaneo-Quercetum crispulae</i> (3 ≤ h < 8 m) | 15 | 11.2 | 10.5 | 10.1 | 10.4 | 11.2 | 9.0 | 12.5 | 10.30 | 10.9 | 11.0 | 11.0 | 18.8 |
| 4 | <i>Rhododendro reticulatum-Piceum densiflorum</i> (h ≥ 8 m) | 57 | 1.0 | 2.3 | 2.6 | 2.5 | 3.5 | 0 | 0 | 2.4 | 1.3 | 1.2 | 0 | 0 |
| 5 | <i>C. japonica, C. obtusa</i> plantation (h ≥ 8 m) | 90 | 2.1 | 11.8 | 12.1 | 13.4 | 11.00 | 8.0 | 12.5 | 11.7 | 10.6 | 9.0 | 4.0 | 0 |
| 6 | <i>C. japonica, C. obtusa</i> plantation (3 ≤ h < 8 m) | 45 | 4.9 | 13.9 | 14.2 | 14.4 | 13.8 | 17.0 | 6.2 | 14.2 | 14.2 | 13.2 | 14.0 | 6.2 |
| 7 | <i>C. japonica, C. obtusa</i> plantation (h < 3 m) | 3 | 1.3 | 0.2 | 0.2 | 0.3 | 0 | 0 | 0 | 0.2 | 0.2 | 0 | 0 | 0 |
| 8 | <i>Aralia-Rubum crataegifolia</i> | 3 | 0.7 | 0.1 | 0.1 | 0.2 | 0 | 0 | 0 | 0.1 | 0.1 | 0 | 0 | 0 |
| 9 | <i>Mollis japonica</i> community | 25 | 2.8 | 4.3 | 4.3 | 4.5 | 3.2 | 1.0 | 0 | 4.4 | 4.2 | 3.00 | 4.0 | 0 |
| 10 | <i>Aspidinaria pygmaea-Miscanthum sinensis</i> | 3 | 0.5 | 0.1 | 0.1 | 0.1 | 0.2 | 0 | 0 | 0.1 | 0 | 0 | 0 | 0 |
| 11 | <i>Phyllanthus heterocycle l. pubescens</i> plantation | 18 | 0.2 | 0.2 | 0.2 | 0.2 | 0 | 0 | 0 | 0.1 | 0.1 | 0 | 0 | 0 |
| 12 | Deciduous orchard (<i>Castanea creata</i>) | 1 | 0.5 | <0.1 | 0.0 | 0.1 | 0 | 0 | 0 | 0.0 | 0 | 0 | 0 | 0 |
| 13 | Upland fields (weed comm. of the <i>Chenopodietae</i>) | 9 | 0.9 | 0.5 | 0.6 | 0.5 | 1.00 | 0 | 0 | 0.6 | 0.4 | 0.5 | 0 | 0 |
| 14 | Rice fields (<i>Oryza sativa</i>) | 11 | 15.1 | 10.4 | 10.5 | 10.0 | 10.0 | 11.0 | 6.2 | 10.5 | 10.8 | 12.0 | 8.0 | 6.2 |
| 15 | Parks and open fields | 1 | 3.7 | 0.2 | 0.2 | 0.2 | 0.5 | 0 | 0 | 0.2 | 0.3 | 0.5 | 0 | 0 |
| 16 | Inhabited areas | 7 | 2.1 | 0.9 | 0.9 | 0.6 | 1.00 | 0 | 0 | 1.0 | 0.8 | 0.5 | 1.0 | 0 |
| Total | | 312 | 5.1 | 100 | 100 | 100 | 100 | 100 | 100 | 100 | 100 | 100 | 100 | 100 |

Table 3. The sum and percentage of each vegetation type in the total area of Japan.

| Vegetation type | The 3rd investigation (1983-1986) | | The 4th investigation (1988-1992) | | Change | |
|--|-----------------------------------|-------|-----------------------------------|-------|-----------------|------|
| | Number of cells | % | Number of cells | % | Number of cells | % |
| Alpine and arctic primary vegetation | 1158 | 0.3 | 1158 | 0.3 | - | 0.0 |
| Sub-alpine and boreal primary vegetation | 16147 | 4.4 | 16110 | 4.4 | -37 | 0.0 |
| Sub-alpine and boreal secondary vegetation | 1050 | 0.3 | 1074 | 0.3 | 24 | 0.0 |
| <i>Fagrus</i> primary vegetation | 45148 | 12.3 | 44704 | 12.1 | -444 | -0.1 |
| <i>Fagrus</i> secondary vegetation | 42232 | 11.5 | 41612 | 11.3 | -620 | -0.2 |
| <i>Camellia</i> primary vegetation | 6070 | 1.6 | 5964 | 1.6 | -106 | 0.0 |
| <i>Camellia</i> secondary vegetation | 57886 | 15.7 | 57131 | 15.5 | -755 | -0.2 |
| Riparian, wetland, salt marsh, and desert vegetation | 2513 | 0.7 | 2488 | 0.7 | -25 | 0.0 |
| Plantation, cultivated land | 169460 | 46.0 | 170824 | 46.3 | 1364 | 0.4 |
| Others | 26806 | 7.3 | 27545 | 7.5 | 739 | 0.2 |
| Total | 368470 | 100.0 | 368610 | 100.0 | 140 | 0.0 |

Discussion

Relationship between cell size and patch disappearance

There are two approaches to determine the optimum resolution of a grid map. The first approach is the use of patches. The result of this study indicates that there are two main factors which determine whether information about the patch is kept or not. One factor is the patch size. If the size of the patch is larger than that of the cell, its information is almost certainly kept. The other factor is the attribute of the patches. If the attribute of a patch is a dominant one, the probability of its information being kept is high. Therefore we suggest applying a cell size larger than the object. If the object is large, it is enough to produce a grid map at a coarse scale. It would be best to find functional minimum sizes for the vegetation. To determine the minimum functional size, we need many studies about the function of each object. For example, Frissel et al. (1986) showed the hierarchical organisation of a stream system and its habitat subsystems. Shugart & West (1981) indicated a spatial scale for disturbance areas

and sustainability of landscapes. These studies are very useful to understand minimum patch size and to decide the appropriate size of a grid map. A frequently discussed problem in the field of landscape ecology is the scaling

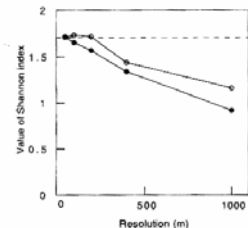


Fig. 5. Shannon index of each grid map. ○ = C-method; ● = W-method. --- = Value of the Shannon index (1.711) on the original map.

Table 4. Extension (number of cells) and percentage of vegetation types of different degree of naturalness in Japan.

| Naturalness | Vegetation type | Third investigation | | Fourth investigation | | Change | |
|-------------|------------------------------------|---------------------|-------|----------------------|-------|-----------------|------|
| | | Number of cells | % | Number of cells | % | Number of cells | % |
| 10 | Natural grassland | 4038 | 1.1 | 4011 | 1.1 | -27 | 0.0 |
| 9 | Natural forest | 66979 | 18.2 | 66394 | 18.0 | -585 | -0.2 |
| 8 | Secondary forest (replaced forest) | 20046 | 5.4 | 19733 | 5.4 | -313 | -0.1 |
| 7 | Secondary forest | 70484 | 19.1 | 69030 | 18.7 | -1454 | -0.4 |
| 6 | Plantations | 91029 | 24.7 | 92072 | 25.0 | 1043 | 0.3 |
| 5 | Secondary tall grassland | 5737 | 1.6 | 5626 | 1.5 | -111 | 0.0 |
| 4 | Secondary short grassland | 5939 | 1.6 | 6498 | 1.8 | 559 | 0.2 |
| 3 | Orchards | 6798 | 1.8 | 6817 | 1.8 | 19 | 0.0 |
| 2 | Rice fields | 76945 | 20.9 | 77311 | 21.0 | 366 | 0.1 |
| 1 | Urban areas - exploited land | 14841 | 4.0 | 15420 | 4.2 | 579 | 0.2 |
| | Natural open land | 1392 | 0.4 | 1416 | 0.4 | 24 | 0.0 |
| | Water surfaces | 4170 | 1.1 | 4211 | 1.1 | 41 | 0.0 |
| | Unidentified | 72 | 0.0 | 71 | 0.0 | -1 | 0.0 |
| | Total | 368470 | 100.0 | 368610 | 100.0 | 140 | 0.0 |

problem in landscape analysis (e.g. Turner et al. 1989a). However, such functional studies have not yet been well developed. The second best approach is to apply the finest resolution possible in terms of time and costs. In this case we state below which size patches are omitted.

The second approach is to survey an entire region. If we analyse a landscape, the details about all landscape elements are not always necessary. Using a 100-m grid map we could calculate almost equal diversity values as for a map at a scale of 1:25000. Errors involved in the conversion from vector maps into grid maps will be equal at other scales. We should decide for an optical resolution in accordance with the purpose of the map. Additionally, using the C-method reflects the landscape structure more accurately than the W-method at the same resolution.

Reliability of the vegetation data base in Japan

We conclude that much information about patches < 100 ha will have disappeared from the vegetation data base at the Environment Agency, Japan. Especially about all patches < 1 ha disappeared while applying the current method (Anon. 1994). Consequently, this data base gives largely reliable information about dominant vegetation or large patches, but information about minor vegetation types or vegetation in small patches is often inaccurate. In other words, we must apply the Environment Agency's data base for the analysis of large vegetation stands more than 100 ha in area.

Land use in Japan is very complex and there are few vegetation patches of above several hundred ha. Natural vegetation which should be protected is often found in small patches, e.g. wetlands, riparian vegetation and grasslands and those cannot be recorded. We therefore recommend the construction of finer-scale grid maps or an other type of data base in order to more accurately record the distribution of rare plant communities over the country.

Acknowledgements. We would like to thank the Environment Agency, Japan for providing its vegetation data base. Dr. Hagen S. Fischer kindly suggested the submission of this paper. This study was supported in part by a Grant-in-Aid for Scientific Research (No. 07308066) from the Ministry of Education, Science, Sports and Culture, Japan).

References

Anon. 1994. The report of the 4th basic survey for environmental conservation. Environment Agency & Asta Air Survey, Tokyo. (Japanese with English summary.)
 Benson, B.J. & MacKenzie, M.D. 1995. Effects of sensor spatial resolution on landscape structure parameters. *Landscape Ecol.* 10: 113-120.

Driese, K.L., Reiners, W.A., Merrill, E.H. & Gerow, K.G. 1997. A digital land cover map of Wyoming, USA: a tool for vegetation analysis. *J. Veg. Sci.* 8: 133-146.
 Frissell, C.A., Liss, W.J., Warren, C.E. & Hurley, M.D. 1986. A hierarchical framework for stream habitat classification - Viewing streams in a watershed context. *Environ. Manage.* 10: 199-214.
 Henderson-Sellers, A., Wilson, M.F. & Thomas, G. 1985. The effect of spatial resolution on archives of land cover type. *Clim. Change* 7: 391-402.
 Hess, G. 1994. Pattern and error in landscape ecology: A commentary. *Landscape Ecol.* 9: 3-5.
 Meentemeyer, V. & Box, E.O. 1987. Scale effects in landscape studies. In: Turner, M.G. (ed.) *Landscape heterogeneity and disturbance*, pp.15-34. Springer-Verlag, New York, NY.
 Mizoguchi, K. 1986. On the problems of natural environmental data from nature survey of Japan as data base. *J. Jpn. Inst. Landscape Archit.* 49: 161-166. (Japanese with English summary.)
 Moody, A. & Woodcock, C. 1995. The influence of scale and spatial characteristics of landscape on land-cover mapping using remote sensing. *Landscape Ecol.* 10: 363-379.
 Morisita, M. 1959. Measuring of interspecific association and similarity between communities. *Mem. Fac. Sci., Kyusyu Univ., Ser. E. (Biol.)* 3: 65-80.
 Nakagoshi, N. & Abe, T. 1995. Recent changes in mire vegetation in Yawata, southwestern Japan. *Wetlands Ecol. Manage.* 3: 97-109.
 Nakagoshi, N., Someya, T., Kamada, M. & Nehira, K. 1989. Actual vegetation map of Hiwa-cho, Hiroshima Prefecture in Japan. *Misc. Rep. Hiwa Museum Nat. Hist.* 28: 1-10.
 Nellis, M.D. & Briggs, J.M. 1989. The effect of spatial scale on Konza landscape classification using textural analysis. *Landscape Ecol.* 2: 93-100.
 Shannon, C. E. & Weaver, W. 1962. *The mathematical theory of communication*. University of Illinois Press, Urbana, IL.
 Shimomura, A., Maeda, T. & Murata, T. 1987. On the quantitative grasp of space features on the natural landscape area by the ready-made environmental data base. *J. Jpn. Inst. Landscape Archit.* 50: 268-279. (Japanese with English summary.)
 Shugart, H.H. & West, D.C. 1981. Long-term dynamics of forest ecosystem. *Am. Sci.* 69: 647-652.
 Suzuki, T. 1954. *Forest and bog vegetation within Ozegahara Basin*. Sci. Rept., pp. 428-479.
 Turner, M.G., Dale, V.H. & Gardner, R.H. 1989a. Predicting across scales: Theory development and testing. *Landscape Ecol.* 3: 245-252.
 Turner, M.G., O'Neill, R.V., Gardner, R.H. & Milne, B.T. 1989b. Effects of changing spatial scale on the analysis of landscape pattern. *Landscape Ecol.* 3: 153-162.
 Tüxen, R. 1956. Die heutige potentielle natürliche Vegetation als Gegenstand der Vegetationskartierung. *Angew. Pflanzensoziol. (Stolzenau)* 13: 5-42.
 Zerbe, S. 1998. Potential natural vegetation: validity and applicability in landscape planning and nature conservation. *Appl. Veg. Sci.* 1: 165-172. (This issue.)

Received 3 December 1997;
 Revision received 19 October 1998;
 Final revision received 7 November 1998;
 Accepted 7 November 1998.